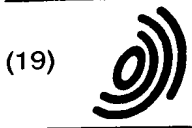


AM



Europäisches Patentamt  
European Patent Office  
Office européen des brevets



(11) EP 0 762 406 A1

(12) EUROPÄISCHE PATENTANMELDUNG

(43) Veröffentlichungstag:  
12.03.1997 Patentblatt 1997/11

(51) Int. Cl.<sup>6</sup>: G11B 7/24, G11B 7/26,  
G11B 11/10, C23C 14/06,  
C23C 14/35

(21) Anmeldenummer: 96113620.7

(22) Anmeldetag: 26.08.1996

(84) Benannte Vertragsstaaten:  
CH DE FR GB LI NL

(72) Erfinder: Kügler, Eduard  
6800 Feldkirch (DE)

(30) Priorität: 01.09.1995 CH 2495/95  
01.07.1996 US 674019

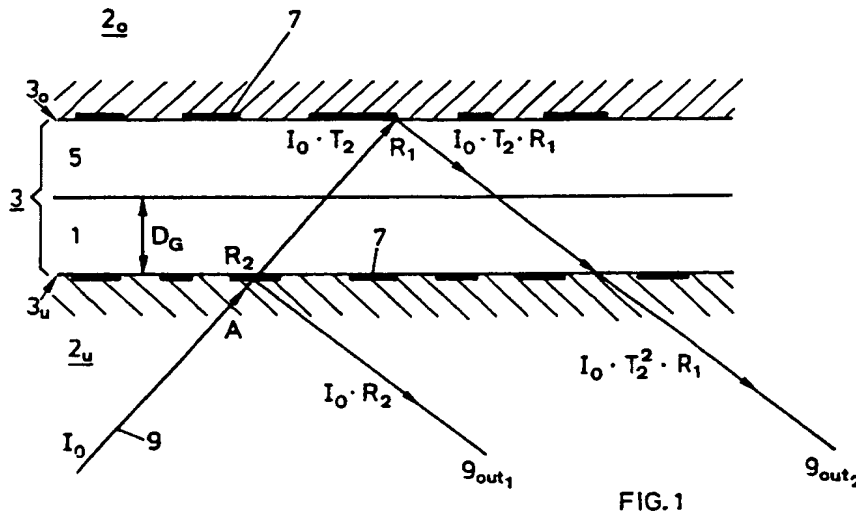
(74) Vertreter: Troesch Scheidegger Werner AG  
Patentanwälte,  
Siewerdstrasse 95,  
Postfach  
8050 Zürich (CH)

(71) Anmelder: BALZERS AKTIENGESELLSCHAFT  
9496 Balzers (LI)

(54) Informationsträger, Verfahren zur Schichtherstellung und Anlagen hierfür

(57) Es wird ein Informationsträger vorgeschlagen, bei dem Information durch örtliche Modulation (5) einer Festkörpereigenschaft, von der die Reflexion elektromagnetischer Strahlung (7) abhängt, an mindestens zwei Festkörper-Grenzflächen (3o, 3u) aufgebracht wird oder aufgebracht ist. Die zwei Grenzflächen (3o, 3u)

weisen zwischen sich eine Zwischenlage (3) auf, welche die Strahlung transmittiert. Die Zwischenlage (3) weist dabei mindestens eine überwiegend aus Si<sub>x</sub>C<sub>y</sub> und/oder Si<sub>v</sub>N<sub>w</sub> auf.



Corresponds to  
US 5,965,228

EP 0 762 406 A1

## Beschreibung

Die vorliegende Erfindung betrifft einen Informationsträger, bei dem die Information durch örtliche Modulation mindestens einer Festkörpereigenschaft, von der die Reflexion elektromagnetischer Strahlung abhängt, an mindestens zwei Festkörpergrenzflächen aufgebracht ist oder aufgebracht wird und bei dem zwischen den mindestens zwei Grenzflächen eine die Strahlung wenigstens zu einem wesentlichen Anteil transmittierende Zwischenlage vorgesehen ist.

Als Festkörpergrenzfläche verstehen wir den Uebergangsbereich, woran die Oberfläche aus einem Material sich an die Grenzfläche aus einem zweiten Material anschmiegt.

Die Erfindung betrifft weiter ein Verfahren zur Herstellung einer mindestens überwiegend aus  $\text{Si}_x\text{C}_y$  oder  $\text{Si}_x\text{C}_y\text{H}_z$  oder  $\text{Si}_v\text{N}_w$  oder  $\text{Si}_v\text{N}_w\text{H}_u$  bestehenden Schicht durch einen reaktiven Vakuumbeschichtungsprozess sowie Vakuumbeschichtungsanlagen, die hierfür geeignet sind.

Das Verfahren zur Herstellung der Schicht eignet sich insbesondere für die Herstellung mindestens einer Schicht als besagte Zwischenlage am erwähnten Informationsträger.

In Compact News 1995, "Optical Disc Manufacturing Equipment", sind sog. High Density CDs verschiedener Konstellationen im Ueberblick zusammengestellt.

Als MMCD bzw. "single sided dual layer high density CD" bzw. "hdCD" sind daraus optische Informationsträger bekannt in Form von CDs, bei denen die Informationsdichte wesentlich erhöht ist, dadurch, dass, durch eine Zwischenlage voneinander getrennt, auf einem Trägersubstrat zwei informationstragende Grenzflächen gebildet sind. Die Information ist durch örtliche Modulation von Oberflächen-Einnehmungs-Strukturen an einer die Grenzfläche bildenden Oberfläche aufgebracht. Das Auslesen der Information erfolgt durch einen Strahl elektromagnetischer Strahlung in Form von 635nm bzw. 650nm Laserlicht, insbesondere von 450nm. Die Zwischenlage zwischen den informationstragenden Grenzschichten ist bei diesen Wellenlängen praktisch zu 100% transmittierend, so dass ein Teil der aufgetragenen Strahlungsenergie an der einen informationstragenden Grenzfläche, ein zweiter Teil an der zweiten informationstragenden Grenzfläche reflektiert wird.

Bei den ebenfalls aus obgenanntem Artikel bekannten hybriden MMCD wird die jeweils an den vorgesehenen Grenzflächen aufgetragene Information selektiv durch je Strahlung mit unterschiedlicher Wellenlänge ausgelesen, nämlich einerseits mittels eines Laserstrahls mit der Lichtwellenlänge von 635nm und andererseits einem Laserstrahl mit 785nm.

Die vorliegende Erfindung bezieht sich unter ihrem weitesten Aspekt auf derartige Informationsträger, Verfahren zu deren Herstellung und Anlagen hierfür, wobei unter diesem weitesten Aspekt die Information sowohl durch örtliche Modulation der Oberflächenstruktur aufbringbar bzw. aufgebracht sein kann, im Sinne der bekannten optischen Speicherung, oder aber durchaus im Sinne magnetooptischer Speicherung, wie beispielsweise aus der US-5 158 834 bekannt, vorgesehen sein kann. Demnach ist die vorliegende Erfindung unter ihrem breitesten Aspekt nicht auf Informationsträger beschränkt, welche bereits mit Information versehen sind, wie beispielsweise durch Formungsprozesse an optischen Speicherplatten, sondern umfasst durchaus Informationsträger, bei denen die Information erst noch aufzubringen ist.

Aus obgenanntem Artikel sind noch weitere Techniken zur Erhöhung der Informationsdichte an CDs bekannt. Gemäss einem unter dem Kürzel SD "super density" bekannten Ansatz werden zwei Substrate mit je informationsbeaufschlagter Grenzfläche aufeinandergelegt und verbunden. Die Information wird durch 650nm Laserlicht von der Vorder- und der Rückseite ausgelesen. Dadurch, dass gemäss einer Weiterentwicklung der SD zur "dual layer SD" zwischen den sich gegenüberliegenden, informationsstrukturierten Flächen eine für das verwendete Licht transmittierende Zwischenlage vorgesehen ist, wird die Gesamtinformation von einer Seite der Disk auslesbar. Auch auf einen solchen Informationsträger mit durch die erwähnte Zwischenlage getrennten informationsbeaufschlagten Grenzflächen bezieht sich die vorliegende Erfindung. Informationsträger, auf die sich die Erfindung bezieht, können somit als

"doppelt- bzw. mehrfachreflektierende" Träger bezeichnet werden.

Allen gemein ist, dass elektromagnetische Strahlung zum Aufbringen und/oder Auslesen der Information an zwei Grenzschichten bzw. -flächen teilweise an einer ersten Grenzfläche reflektiert und, teilweise durch die Zwischenlage transmittiert, an einer weiteren Grenzfläche wiederum reflektiert wird. Die Zwischenlage umfasst dabei üblicherweise mindestens zwei Schichten, eine, die optisch wirksam ist, insbesondere mindestens die eine Reflexion mitbestimmt, die andere, die als Abstandhalteschicht wirkt.

An einen derartigen Informationsträger wird die Forderung gestellt, dass die Information von beiden Grenzflächen im wesentlichen gleichermassen auslesbar sein soll. Es soll nun am erwähnten Informationsträger eine Zwischenlage gefunden werden, woran die erwähnte optisch wirksame Schicht mindestens einen der nachfolgenden Vorteile hat:

- Sie soll kostengünstig herstellbar sein.
- Die Reflexion an einer der Zwischenlagenoberflächen und einem Anschlussmedium, welche gemeinsam die Grenzfläche bilden, soll so hoch wie möglich sein. Gleichzeitig soll aber auch die Transmission durch die Zwischen-

lage, für Strahlung der gegebenen Wellenlänge, maximal werden, d.h. die Absorption vernachlässigbar. Das Anschlussmedium ist üblicherweise das Trägersubstratmaterial oder das Abstandhalteschichtmaterial oder ein Deckschichtmaterial.

- 5 - Sie soll bei derart tiefen Temperaturen aufbringbar sein, dass sie auf üblicherweise als Substratmaterial eingesetzte Kunststoffe aufbringbar ist.
- Sie soll auch im UV-Spektralbereich eine hohe Transmission aufweisen, derart, dass gegebenenfalls eingesetzte UV-härtbare Lacke, als Anschlussmedium bzw. Material einer Abstandhalteschicht, durch die optisch wirksame Schicht hindurch, mittels UV-Strahlung ausgehärtet werden können.
- 10 - Sie soll auf üblichen Kunststoffsubstratmaterialien sowie üblicherweise vorgesehenen Grenzschnittanschlüssen, wie den erwähnten Lacken, gut haften.
- 15 - Sie soll sich insbesondere für den Einsatz elektromagnetischer Strahlung im Wellenlängenbereich von 400nm bis 800nm, aber insbesondere zwischen 633nm und 650nm eignen.

Diese Aufgabe wird dadurch gelöst, dass die mindestens eine Schicht erfindungsgemäss mindestens überwiegend aus  $\text{Si}_x\text{C}_y$  oder  $\text{Si}_v\text{N}_w$  besteht und/oder dass die Zwischenlage mindestens ein dielektrisches Schichtsystem mit mindestens einer Schicht umfasst, welches grundsätzlich mit einer optischen Dicke  $D$  aufgebaut ist, die mindestens in erster Näherung  $m \cdot \lambda_0 / 4$  beträgt, wobei  $m$  ganzzahlig ist mit  $m \geq 1$  sowie ungerade, und wobei  $\lambda_0$  die Wellenlänge der durch das Schichtsystem zu transmittierenden Strahlung bezeichnet. Dabei kann  $m$  bis 0,6 kleiner als sein ganzzahliger Wert gewählt werden oder bis 0,2 grösser als dieser ganzzahlige Wert. Durch Wahl reduzierter  $m$ -Werte und für eine erwünschte Reflexionscharakteristik wird das dielektrische Schichtsystem wesentlich weniger dick und damit wesentlich kostengünstiger herstellbar.

Als dielektrische Schichtmaterialien kommen nebst den erwähnten, primär bevorzugten Materialien  $\text{Si}_x\text{C}_y$  bzw.  $\text{Si}_x\text{C}_y\text{H}_z$ ,  $\text{Si}_v\text{N}_w$  bzw.  $\text{Si}_v\text{N}_w\text{H}_u$  auch ZrN oder gar auch HfN sowie TiN in Frage.

Wenn  $\text{Si}_x\text{C}_y$ ,  $\text{Si}_x\text{C}_y\text{H}_z$ ,  $\text{Si}_v\text{N}_w$  oder  $\text{Si}_v\text{N}_w\text{H}_u$  als Schichtmaterial eingesetzt wird, sollte  $x/y$  und entsprechend  $v/w \geq 1$  sein, dabei bevorzugterweise  $x/y \geq 1,2$  und entsprechend  $v/w \geq 1,2$  und, gar besser,  $x/y \geq 2$  bzw.  $v/w \geq 1,6$ .

30 Dabei erlaubt die erwähnte, an sich erfindungsgemässe Schicht an der Zwischenlage, dank ihrer reflexionsbestimmenden Eigenschaften (Brechungswert  $n$ ) sowie ihren Transmissions-Eigenschaften (tiefe Absorption), drei bzw. mehr als drei informationsbeaufschlagte oder -beaufschlagbare Grenzschnitten an einem Informationsträger zu realisieren und auch daran die Information von einer Trägerseite her auszulesen, bevorzugt mit Strahlung einer Wellenlänge.

Es soll weiter ein Herstellungsverfahren für mindestens eine  $\text{Si}_x\text{C}_y$ - oder  $\text{Si}_v\text{N}_w$ - und ein Herstellungsverfahren für mindestens eine  $\text{Si}_x\text{C}_y\text{H}_z$ - oder  $\text{Si}_v\text{N}_w\text{H}_u$ -Schicht gefunden werden, welche sich je ausserordentlich gut für die Herstellung der obgenannten optisch wirksamen Schicht an der Zwischenlage am Informationsträger eignen, jedoch grundsätzlich für die Herstellung derartiger Schichten auch für andere Anwendungen folgende Vorteile ergeben:

- 40 - kostengünstig, insbesondere auch was hierfür benötigte Anlagen und ihre Komplexität angeht;
- exakte, relativ einfache Prozessführung zum Erhalt erwünschter Stöchiometrieverhältnisse am Schichtmaterial;
- tiefe Temperaturen.

45 Die durch das Herstellungsverfahren zu erwirkenden Vorteile sollen selbstverständlich auch durch die entsprechenden vorgeschlagenen Anlagen realisierbar sein.

Verfahrensmässig wird die gestellte Aufgabe bei der Herstellung mindestens einer mindestens im wesentlichen aus  $\text{Si}_x\text{C}_y\text{H}_z$  oder  $\text{Si}_v\text{N}_w\text{H}_u$  bestehenden Schicht durch einen reaktiven Vakuumbeschichtungsprozess dadurch gelöst, dass Silicium von einem Festkörper in die Prozessatmosphäre freigesetzt wird und in der Prozessatmosphäre mit einem Reaktivgas zur Reaktion gebracht wird, welches C und/oder N enthält, vorzugsweise entweder C oder N.

50 Im weiteren wird die erwähnte Aufgabe verfahrensmässig auch dadurch gelöst, dass die mindestens eine Schicht, welche mindestens im wesentlichen aus  $\text{Si}_x\text{C}_y\text{H}_z$  oder aus  $\text{Si}_v\text{N}_w\text{H}_u$  besteht, durch einen reaktiven Vakuumbeschichtungsprozess erzeugt wird, worin ein Optimum der Transmission der Schicht und des Brechungswertes des Schichtmaterials durch Einstellung der Konzentration eines Gases in der Prozessatmosphäre erreicht wird, welches Gas mindestens zwei der Komponenten C, N, H enthält, vorzugsweise C und H oder N und H.

55 Weitere Vorteile werden durch bevorzugte Ausführungsformen der Erfindung unter all ihren Aspekten erwirkt, wie sie in den Ansprüchen und, beispielsweise, in der nachfolgenden Beschreibung mit Figuren und Beispielen erläutert sind.

Es zeigen:

- Fig. 1 schematisch eine erfindungsgemässe Zwischenlage an einem erfindungsgemässen Informationsträger unter seinem weitesten Aspekt;
- Fig. 2 schematisch einen Ausschnitt aus einem erfindungsgemässen optischen Informationsträger mit zwei Informationsgrenzflächen;
- Fig. 3 in Darstellung analog zu Fig. 2 einen Ausschnitt aus einem erfindungsgemässen Informationsträger mit drei Informationsgrenzflächen;
- Fig. 4 schematisch eine erste erfindungsgemässe Anlagenkonfiguration zur Schichtherstellung und zur Durchführung eines erfindungsgemässen Herstellungsprozesses;
- Fig. 5 schematisch eine Konfiguration einer zweiten bevorzugten erfindungsgemässen Anlage zur Durchführung des erfindungsgemässen Prozesses und mit erfindungsgemässem Target.

In Fig. 1 ist, prinzipiell, ein Ausschnitt aus einem einseitig doppelt oder mehrfach reflektierenden erfindungsgemässen Informationsträger dargestellt. Eine Zwischenlage 3 ist eingebettet zwischen Anschlussmedia  $2_o$  und  $2_u$ . Die Zwischenlage 3 umfasst eine dielektrische Schicht 1 sowie eine Abstandhalteschicht 5. Letztere besteht vorzugsweise aus einem Lack, insbesondere einem UV-härtbaren, wie z.B. einem 2P-Lack der Fa. Philips.

Die dielektrische Schicht 1 besteht mit erster Vorzugspriorität mindestens im wesentlichen aus  $Si_xC_yH_z$  und/oder  $Si_vN_wH_u$ , dabei vorzugsweise aus einem dieser Materialien, in zweiter aus  $Si_xC_y$  und/oder  $Si_vN_w$  oder in dritter aus ZrN oder mindestens im wesentlichen aus HfN oder TiN. Unter dritter Priorität wird ZrN bevorzugt.

Dabei ist "bestehen" so zu verstehen, dass durchaus noch weitere Komponenten im Schichtmaterial vorhanden sein können, aber mit einem untergeordneten Anteil.

Es bilden Medium  $2_u$  und Schicht 1 die eine Grenzfläche  $3_u$ , Medium  $2_o$  und Abstandhalteschicht 5 die zweite  $3_o$ . An diesen zwei Grenzflächen ist eine informative Struktur aufgebracht bzw. einbringbar, durch örtliche Modulation von Oberflächeneigenschaften, z.B. für optische Informationsträger der geometrischen Struktur oder für magnetooptische Träger der magnetischen Eigenschaften.

Die informative Struktur ist in Fig. 1 prinzipiell durch die Bereiche 7 dargestellt. Die modulierte Festkörpereigenschaft, d.h., wie erwähnt, beispielsweise geometrische Oberflächenstrukturierung oder magnetische Oberflächenstrukturierung, moduliert einfallende elektromagnetische Strahlung 9 bei deren Relativverschieb entlang der Grenzflächen  $3_o$ ,  $3_u$ , wie dies dem Fachmann hinlänglich bekannt ist.

Die elektromagnetische Strahlung 9 mit einer Intensität  $I_o$  wird einerseits an der einen Grenzfläche  $3_u$  reflektiert, entsprechend einem reflektierten Anteil  $I_o \cdot R_2$ , worin  $R_2$  den Reflexionsfaktor angibt. Andererseits wird der Teil  $I_o \cdot (1 - R_2 - A_2) = I_o \cdot T_2$  durch die Zwischenlage 3 transmittiert, wobei  $A_2$  die Absorption in der Zwischenlage und  $T_2$  die Transmission durch die Zwischenlage bedeuten. Dieser Anteil  $I_o \cdot T_2$  geht praktisch verlustlos durch die Abstandhalteschicht 5 hindurch und wird, entsprechend dem Faktor  $R_1$ , entsprechend dem Anteil  $I_o \cdot R_1 \cdot T_2$  reflektiert. Nach Durchlaufen der Abstandhalteschicht 5 und der Schicht 1 ergibt sich die Strahlung zu  $I_1 = I_o \cdot T_2^2 \cdot R_1$ . Dabei muss darauf hingewiesen werden, dass die Transmission  $T_2$  als quadratischen Term  $T_2^2$  in den Ausdruck für  $I_1$  eingeht.

Die Energieaufteilungen, wie sie anhand von Fig. 1 gezeigt und erläutert sind, sind Näherungen, bei welchen der vernachlässigbare Einfluss der optisch inaktiven Abstandhalteschicht 5 nicht berücksichtigt ist. Bezüglich komplexerer Näherungen höherer Ordnungen dieser Energiebetrachtungen wird auf "Optical Recording", Alan B. Marchant, Addison-Wesley, 1990, Publishing Company, chapter 13, S. 344 bis 353, verwiesen. Die genauen Verteilungen können mit Hilfe des Programmes "Film\*STAR", Optical Thin Film Software, FTG Software Associates, P.O. Box 579, Princeton, N.J. 08542, berechnet werden.

Gefordert wird eine möglichst gleiche Energie an den reflektierten Strahlen  $9_{out1,2}$ .

Es ist bekannt, an der Zwischenlage 3 eine metallische Schicht oder metallähnliche Schicht, wie aus Au, vorzusehen, woran aber, nebst der Transmission  $T_2$ , auch die Reflexion sehr empfindlich mit der geometrischen Dicke  $D_G$  variiert und die teuer in der Herstellung ist.

Wie erwähnt, besteht die erfindungsgemäss eingesetzte Schicht 1 weit bevorzugterweise mindestens überwiegend aus  $Si_xC_y$ ,  $Si_xC_yH_z$ ,  $Si_vN_w$  oder  $Si_vN_wH_u$ . Die Schicht 1 besteht dabei weiter bevorzugterweise mindestens überwiegend aus einem der erwähnten Materialien, wobei sie aber auch aus mindestens zwei dieser erwähnten vier Materialien mindestens überwiegend bestehen kann.

Die folgenden bevorzugten Werte und Verhältnisse für x, y, z und v, w, u wurden ermittelt:

1. Es wird weitaus bevorzugt, dass

1.1  $x \geq y$  und entsprechend  $v \geq w$  unabhängig von z und u.

- 1.1.1 Dabei wird weiter bevorzugt, dass:  
 $x \geq 1,2y$  und entsprechend  $v \geq 1,2w$   
 und gar mehr, dass  
 $x \geq 2y$  und entsprechend  $v \geq 1,6w$ , unabhängig von  $z$  und  $u$ .

Dies ist gültig für Materialien, welche überwiegend aus einem der vier erwähnten Materialien bestehen, würde aber auch gültig sein für Materialien, welche, zu überwiegendem Anteil, aus zwei, drei oder vier der erwähnten Materialien zusammengesetzt sind.

Es wird weiter bevorzugt:

2.  $x \leq 0,8$ ;  $y \geq 0,05$  und  $z \geq 0,1$ ,  
 dabei insbesondere  
 $x \leq 0,52$ ;  $y \geq 0,1$  und  $z \geq 0,2$ ,  
 $v \leq 0,8$ ;  $w \geq 0,05$ , bevorzugterweise  $w \geq 0,1$ .

3. Die folgenden Verhältnisse sind besonders vorteilhaft:

3.1  $[0,445 : 0,262] \leq [x : y] \leq [0,775 : 0,078]$ ,  
 unabhängig vom Wert von  $z$  und unabhängig davon, ob die Schicht im wesentlichen aus einer Einzelkomponente oder aus einem Mehrkomponentenmaterial besteht.

3.2  $[0,445 : 0,249] \leq [x : z] \leq [0,775 : 0,118]$ ,  
 unabhängig vom Wert von  $y$  und unabhängig davon, ob das Schichtmaterial mindestens überwiegend aus einer Komponente oder aus mehreren Komponenten der obgenannten Art besteht.

3.3  $[0,078 : 0,249] \leq [y : z] \leq [0,262 : 0,118]$ ,  
 unabhängig vom Wert von  $x$  und unabhängig davon, ob das Schichtmaterial mindestens überwiegend aus einer Komponente oder aus mehreren Komponenten besteht.

3.4 Tatsächlich wurde gefunden, dass der höchste Reflexionskoeffizient des Materials  $\text{Si}_x\text{C}_y\text{H}_z$  dann erreicht wird, wenn  
 $x:y:z = 0,704 (\pm 10\%):0,087 (\pm 10\%):0,131 (\pm 10\%)$   
 realisiert wird, wobei  $\pm 10\%$  die Messgenauigkeit und somit die statistische Verteilung bei mehreren Messungen anzeigen.

Für den tiefsten Brechungswert, der immer noch einsetzbar ist, wurde gefunden:  
 $x:y:z = 0,494 (\pm 10\%):0,238 (\pm 10\%):0,226 (\pm 10\%)$ .

3.5  $[0,527 : 0,401] \leq [v : w] \leq [0,858 : 0,099]$ ,  
 unabhängig vom Wert von  $u$  und unabhängig davon, ob das Material mindestens überwiegend aus einer Komponente oder aus mehreren Komponenten besteht.

3.6  $[0,527 : 0,044] \leq [v : u] \leq [0,858 : 0,009]$ ,  
 unabhängig vom Wert von  $w$  und unabhängig davon, ob das Schichtmaterial mindestens überwiegend aus einer Komponente oder aus mehreren Komponenten besteht.

3.7  $[0,099 : 0,044] \leq [w : u] \leq [0,401 : 0,009]$ ,  
 unabhängig vom Wert von  $v$  und unabhängig davon, ob das Schichtmaterial mindestens überwiegend aus einer Komponente oder aus mehreren Komponenten besteht.

3.8 Tatsächlich wurde weiter gefunden, dass der höchste Brechungswert des Materials  $\text{Si}_v\text{N}_w$  dann erreicht wird, wenn  
 $v : w = 0,78 (\pm 10\%) : 0,11 (\pm 10\%)$ ,  
 unabhängig vom Wert von  $u$ . Die  $\pm 10\%$  zeigen die statistische Verteilung bei einer Vielzahl von Messungen an.

Für den tiefsten Brechungswert, welcher jedoch noch einsetzbar ist, gilt:  
 $v : w = 0,586 (\pm 10\%) : 0,364 (\pm 10\%)$ ,  
 unabhängig vom Wert von  $u$ .

Dies gilt insbesondere, wenn als elektromagnetische Strahlung 9 Licht mit einer Wellenlänge  $\lambda_s$  eingesetzt wird, für

welche gilt:

$$400\text{nm} \leq \lambda_s \leq 800\text{nm},$$

5 und insbesondere gilt:

$$630\text{nm} \leq \lambda_s \leq 655\text{nm}.$$

10 Im Gegensatz zum bekannten Einsatz von metallischen Schichten für den Aufbau der Schicht 1 wird an der erfindungsgemäss vorgesehenen Schicht 1, vorzugsweise aus  $\text{Si}_x\text{C}_y$  und/oder  $\text{Si}_y\text{N}_w$  oder, gar mehr bevorzugt, aus  $\text{Si}_x\text{C}_y\text{H}_z$  und/oder  $\text{Si}_y\text{N}_w\text{H}_u$ , Interferenz ausgenutzt, indem für die optische Dicke D der Schicht 1 gilt:

$$D = m \cdot \lambda_o/4,$$

15 worin  $m \geq 1$  ganzzahlig und ungerade ist, jedoch durch bis zu 0,6 reduziert werden kann oder durch bis zu 0,2.  $\lambda_o$  ist die optische Wellenlänge der Strahlung 9 im Zwischenlagenmaterial, d.h. insbesondere im Material der Schicht 1.

Dabei wird die Reflexion  $R_2$  wesentlich weniger kritisch von der geometrischen Dicke

$$D_G = (m/n) \cdot (\lambda_o/4)$$

20

(n: Brechungswert)  
abhängig, weil die optische Dicke

$$D = m \cdot \lambda_o/4$$

25

entsprechend der Reduktion von m um einen Wert bis zu 0,6 variieren kann oder um einen Wert bis zu 0,2 vergrößert werden kann.

Damit kann  $D_G$  wesentlich geringer gewählt werden (Dicke der Schicht!) als entsprechend einem ganzzahligen Wert von m, wobei

30

- die Reflexion nur unwesentlich reduziert wird,
- die Transmission wesentlich erhöht wird.

35

Die Möglichkeit, die Schicht mit reduzierter Dicke ( $D_G$ ) vorzusehen, führt weiter zu einer wesentlichen Verbesserung wirtschaftlicher Produktion (durch Erhöhung des Ausstosses).

Die Tatsache, dass generell die Reflexion unkritisch ist bezüglich  $D_G$ , reduziert weiter wesentlich die Aufwendungen, welche für eine Dickenbeherrschung bei der Schichtherstellung zu treiben sind.

40

Weil die Transmission  $T_2$  quadratisch im Ausdruck für den Strahl  $9_{out2}$  (s: Fig. 1) auftritt, bewirkt eine Erhöhung von  $T_2$  eine wesentliche Verbesserung der Energieverteilung an den Strahlen  $9_{out1}$  und  $9_{out2}$  zu einer Gleichverteilung hin. Wie erwähnt wurde, erscheint die Transmission  $T_2$  quadratisch im Energieausdruck für den Strahl  $9_{out2}$ . Damit ergibt bereits eine geringe Reduktion der geometrischen Dicke der Schicht eine wesentliche Verbesserung an diesem erwähnten Strahl.

45

Im weiteren wirkt die Reflexionsverteilung entlang der Grenzfläche  $3_o$  wesentlich weniger empfindlich auf Dicken-schwankungen entsprechend  $D_G$  der Schicht 1 auf der Materialphase  $2_u$ , was wiederum zu einem wesentlichen Vorteil in der Herstellung der Schicht 1 führt.

Die Abstandhalteschicht 5 wird, insbesondere bei optischen Informationsträgern, vorzugsweise durch einen strukturierbaren Lack, wie beispielsweise einen Lack "2P" der Firma Philips, realisiert, also mittels Lacken, die UV( $\lambda_s < 400\text{nm}$ )-gehärtet werden.

50

Hierfür sichert die erfindungsgemässe Schicht 1 an sich bereits eine hohe Transmission (tiefe Absorption) im UV-Bereich, welche aber durch die erwähnte Möglichkeit, ohne Reflexionseinbusse die Schichtdicke  $D_G$  zu verringern, noch wesentlich erhöht wird. So wird eine Transmission für Strahlung im UV-Bereich erreicht, die mindestens 10% beträgt. Die Zwischenlage 3, insbesondere bei optischen Informationsträgern, wird üblicherweise auf einem Kunststoff, insbesondere auf strukturiertem Polycarbonat oder PMMA, als Anschlussmedium  $2_u$  abgelegt.

55

Ein wesentlicher Vorteil der erfindungsgemässen Schicht 1 ist nun auch darin zu erblicken, dass sowohl im erfindungsgemäss weitاً bevorzugten Schichtmaterial  $\text{Si}_x\text{C}_y$  bzw.  $\text{Si}_x\text{C}_y\text{H}_z$  wie auch im erwähnten Kunststoffsubstratmaterial und den erwähnten Lacken Kohlenstoff enthalten ist, so dass eine starke Bindung und damit Haftung des Schichtmaterials mit bzw. an die erwähnten Anschlussmedien resultiert.

Um eine Reflexion  $R_2$  von  $30 \pm 10\%$  zwischen üblichen Substratkunststoffen, wie Polycarbonat oder PMMA, und

dem Material der Schicht 1 zu erreichen, ist am Schichtmaterial ein sehr hoher Brechwert  $n_1$  erforderlich, weil nämlich der Brechwert des erwähnten Substratmaterials bereits hoch ist, für Polycarbonat beispielsweise ca. 1.57 beträgt. Wenn andererseits bei den erfindungsgemäss eingesetzten Schichtmaterialien der Brechwert  $n_1$  erhöht wird, führt dies zu einem Absenken der Transmission  $T_2$ , d.h. zu einer Zunahme der Absorption im Material der Schicht 1. Das von der Grenzfläche  $3_o$  gemäss Fig. 1 gewonnene Signal ist aber sehr empfindlich von einer Abnahme der Transmission  $T_2$  (Zunahme der Absorption) abhängig. Durch Einstellung des Stöchiometrieverhältnisses  $x/y$  und insbesondere  $x/y/z$ , wie oben angegeben, gelingt es, einen optimalen Kompromiss der sich zuwiderlaufenden Anforderungen an Brechwert und Transmission einzustellen. Insbesondere beim bevorzugten Schichtmaterial  $Si_xC_yH_z$  kann dabei durch Variation von zwei Parametern, nämlich des Kohlenstoffanteils  $y$  und des Wasserstoffanteils  $z$ , den erwähnten sich zuwiderlaufenden Anforderungen optimal Rechnung getragen werden. Wie dies herstellungstechnisch erreicht wird, soll später anhand des Herstellungsverfahrens ausgeführt werden.

Mit Einsatz der erfindungsgemässen Schicht 1 aus  $Si_xC_y$ ,  $Si_xC_yH_z$ ,  $Si_vN_w$  oder  $Si_vN_wH_u$  wurde es möglich, Reflexionswerte  $R_2$  (635nm) an Polycarbonat als Phase  $2_u$  von 20% bis 40% zu erreichen. Dies führte zu einer in der Zwischenlage 3 transmittierten Energie von 60% bis 80%, die auf die zweite Grenzfläche  $3_o$  auftrifft, die Absorption  $A_2$  bei der erwähnten Wellenlänge  $\lambda_s$  von praktisch 0% berücksichtigend. Die Reflexion  $R_1$  wird durch Wahl des Mediums  $2_o$  gemäss Fig. 1 optimiert und betrug z.B. für Al als Material der Phase  $2_o$  81% der auf die zweite Grenzfläche auftreffenden Energie. Damit resultierte, entsprechend Fig. 1, für einen Strahl  $9_{out1}$  von 20% ein Strahl  $9_{out2}$  von 52% und für einen Strahl  $9_{out1}$  von 40% ein Strahl  $9_{out2}$  von 29% der einfallenden Energie.

Mit hoher Wahrscheinlichkeit können die erfindungsgemässen Zwischenlagen 3 bzw. Schichten 1 auch für Strahlung im blauen Bereich, d.h. mit Wellenlängen  $400\text{nm} \leq \lambda_s \leq 500\text{nm}$ , erfolgreich eingesetzt werden. Im weiteren kann die erfindungsgemässe Zwischenlage bzw. Schicht im Sinne der hybriden MMCD, wie sie oben beschrieben wurden, dazu eingesetzt werden, Strahlung mit selektiv unterschiedlichen Wellenlängen einzusetzen, wie beispielsweise von 635nm und 785nm, um selektiv Information an der einen Grenzfläche mit Strahlung der einen Wellenlänge und von der zweiten Grenzfläche durch Strahlung der zweiten Wellenlänge auszulesen. Wenn dabei, mit Blick auf Fig. 1, z.B. Strahlung der Wellenlänge 635nm eingesetzt wird, um Information von der Grenzfläche  $3_u$  auszulesen und Strahlung mit einer Wellenlänge von 785nm dafür, Information von der Grenzfläche  $3_o$  auszulesen, dann wird die optisch wirksame Schicht 1 so ausgelegt, dass praktisch die gesamte Energie bei 635nm an  $R_2$  reflektiert wird und praktisch die gesamte Energie bei 785nm auf die Grenzfläche  $3_o$  transmittiert wird und dort reflektiert wird. Dies wird durch Auslegung der geometrischen Dicke  $D_G$  der Schicht 1 realisiert, so dass sie mit einer ungeraden Anzahl von Viertelwellenlängen entsprechend 635nm entspricht, gleichzeitig aber mit einer geraden Anzahl Viertelwellenlängen bei 785nm.

Wie vorgängig erwähnt wurde, gilt für eine ungerade Zahl Viertelwellenlängen für  $m$ :

$0,4 \leq m \leq 1,2$ ; (erster Ordnung)	$2,4 \leq m \leq 3,2$ ; (dritter Ordnung)
$4,4 \leq m \leq 5,2$ ; (fünfter Ordnung)	.....

Bezüglich Polycarbonat und höchst wahrscheinlich bezüglich PMMA einerseits wie auch höchstwahrscheinlich bezüglich UV-härtbarer Lacke erfüllt die erfindungsgemässe Schicht 1 mit Bezug auf Haftung die Haftungs-tape-tests entsprechend MIL-M-13508C und/oder MIL-C-00675B, wie sie in H. Pulker, "Coatings on Glass", S. 358, Elsevier, 1984, definiert sind.

In Fig. 2 ist ein bevorzugtes Ausführungsbeispiel eines erfindungsgemässen optischen Informationsträgers dargestellt, ausgebildet als optische Speicherplatte mit zwei Informationsgrenzflächen  $3_o'$ ,  $3_u'$ .

Auf einem Substratträger  $2_u'$ , vorzugsweise aus Polycarbonat oder PMMA, ist eine Schicht 1 abgelegt, entsprechend den bevorzugten Angaben unter 1) bis 3.8).

Auf der Abstandhalteschicht 5 ist eine metallische Reflexionsschicht  $2_o'$  aus Au oder Ag, vorzugsweise aber aus Al vorgesehen. Die hochreflektierende Schicht  $2_o'$  ist mit einer Deckschicht  $2_{oD}$  abgedeckt.

Bei der weiteren Ausführungsvariante gemäss Fig. 3 sind folgende Schichten vorgesehen:

- Trägersubstrat  $2_u'$ , vorzugsweise aus Polycarbonat oder PMMA;
- Schicht 1 vorzugsweise aus den obgenannten Materialien, nämlich  $Si_xC_yH_z$ ,  $Si_xC_y$ ,  $Si_vN_wH_u$  oder  $Si_vN_w$ ;
- Abstandhalteschicht 5 vorzugsweise aus UV-härtbarem Lack, vorzugsweise "2P" Lack, welcher die zweite Grenzfläche  $3_{o1}$  zu einer weiteren erfindungsgemässen Schicht definiert, vorzugsweise aus  $Si_xC_yH_z$ ,  $Si_xC_y$ ,  $Si_vN_wH_u$  oder  $Si_vN_w$ ;
- eine Abstandhalteschicht 5 vorzugsweise aus UV-härtbarem Lack, die die dritte Grenzfläche  $3_{o2}$  zu einer hochre-

flektierenden Metall-, insbesondere Al-Schicht 2<sub>0</sub> definiert.

Von jeder der drei Grenzflächen 3<sub>u</sub>, 3<sub>o1</sub>, 3<sub>o2</sub> wird, vorzugsweise wiederum bei einer Laserlichtwellenlänge von 635nm, gerade soviel reflektiert, dass die Auslesestrahlen S<sub>1</sub> bis S<sub>3</sub> ca. je 20% der einfallenden Energie I enthalten. Die Absorption je "halbdurchlässige" Schicht 1 ist kleiner als 2% und entsprechend hoch ist die jeweilige T<sub>2</sub>.

Die Ausführungsvariante gemäss Fig. 3, angewendet auf die vorerwähnte MMCD-Technik, ergibt eine Speicherkapazität pro einseitig bespielte 120mm-Durchmesser-CD von ca. 11GByte, während sich damit bei einer SD (Super Density Disk) eine Speicherkapazität pro CD-Seite von ca. 13GByte und für eine doppelseitige SD von ca. 27GByte ergibt.

Anschliessend soll anhand erfindungsgemässer Anlagenkonfigurationen das erfindungsgemässe Verfahren erläutert werden, welches sich nicht ausschliesslich, aber insbesondere für die Herstellung der "halbdurchlässigen" Schicht 1 an den erfindungsgemässen Informationsträgern, wie vorerläutert, eignet.

An der schematisch dargestellten Anlage von Fig. 4 wird die "halbdurchlässige" Schicht 1 (Fig. 1 bis 3) durch Ionenplattieren abgelegt, während bei der bevorzugten Anlagenkonfiguration gemäss Fig. 5, in bevorzugter Art und Weise, die erfindungsgemäss abgelegte Schicht 1 durch reaktives Sputterbeschichten abgelegt wird.

Bei den erfindungsgemässen Herstellungsverfahren - es dürfte ohne weiteres möglich sein, die angeführten Schichten an den erfindungsgemässen Informationsträgern auch auf andere Art und Weise herzustellen - wird einerseits, als erster wichtiger Aspekt, das Verhältnis von Transmission T<sub>2</sub> und Brechwert n<sub>1</sub> an der bevorzugt eingesetzten Si<sub>x</sub>C<sub>y</sub>H<sub>z</sub>- und/oder Si<sub>v</sub>N<sub>w</sub>H<sub>u</sub>-Schicht durch Führung des Verhältnisses von Kohlenstoff zu Wasserstoff optimiert. Dies vorzugsweise durch gesteuerte bzw. geregelte Zuführung mindestens zweier Gase mit unterschiedlichen C/H- oder N/H-Anteilen in die Prozessatmosphäre. Als zweiter wichtiger Aspekt, alternativ oder additiv zum ersten, werden von hochreinem Silicium als Festkörper Si-Atome in die Prozessatmosphäre freigesetzt und dort mit kohlenstoff-, bevorzugterweise kohlenstoff- und wasserstoffhaltigem Gas zur Reaktion gebracht. Der erste Aspekt erlaubt, durch Führung der Anteile der erwähnten Gase in der Prozessatmosphäre, die optischen Verhältnisse zu optimieren, der zweite, einen kostengünstigen, gut beherrschbaren Prozess einzusetzen.

Als Prozessgas wird vorzugsweise ein Edelgas, z.B. Ar, verwendet.

Als Reaktivgase werden Kohlenwasserstoffgase eingesetzt, wie z.B. Butan C<sub>4</sub>H<sub>10</sub>, Methan CH<sub>4</sub>, Propan C<sub>3</sub>H<sub>8</sub>, Stickstoff N<sub>2</sub> oder Stickstoff-Wasserstoffgase, wobei durch Steuerung oder Regelung der Gasflüsse in die Prozessatmosphäre mehr oder weniger Kohlenstoff C oder Stickstoff N pro Zeiteinheit in die Prozessatmosphäre eingelassen werden, bezogen auf den Wasserstoff, welcher pro Zeiteinheit eingelassen wird.

Das Freisetzen von Si von einer Si-Festkörperquelle führt zu wesentlich kostengünstigeren Festkörperquellen als beispielsweise das Freisetzen von SiC aus bekannten Graphit-dotierten Silicium-Quellen. Durch die exakt festgelegte Festkörperzusammensetzung des Siliciums an der Festkörperquelle wird der gesamte Beschichtungsprozess besser kontrollierbar und, durch Variation der Prozessgaszusammensetzung, führbar.

Gemäss Fig. 4, welche, schematisch, eine Ionenplattieranlage zeigt, wird in einer Vakuumkammer 51, zwischen Elektrode 53 und 54, eine Plasmaentladung PL betrieben. Mit der Entladung PL wird Silicium eines Targets 55, wie dargestellt an der Elektrode 54, in die Prozessatmosphäre verdampft oder zerstäubt. Anstelle (nicht eingezeichnet) einer Entladung PL kann selbstverständlich, und wie dem Fachmann bekannt, das Silicium mittels thermischer Verdampfung, wie z.B. mittels Elektronenstrahlverdampfens, in die Prozessatmosphäre freigesetzt werden.

Die Entladung PL kann betrieben werden:

- mit Hochfrequenz Hf
- mit DC
- mit DC+Hf
- mit DC+Mittelfrequenz
- mit DC+Tieffrequenz  
dabei vorzugsweise mit DC und überlagertem Mittelfrequenz- oder Tieffrequenz-Impulssignal.

Dabei ist aber zu beachten, dass das in der Prozessatmosphäre erzeugte Schichtmaterial ebenso wie das Silicium elektrisch schlecht leiten, so dass der Prozessbeherrschung, mit Blick auf Funkenbildung und Quellenvergiftung, hohe Beachtung zu schenken ist.

In der dargestellten, weitaus bevorzugten Realisationsform wird die Entladung PL mittels einer DC-Quelle 57 betrieben. Die Stabilität des Beschichtungsprozesses wird aber trotz des Einsatzes der kostengünstigen DC-Quelle 57 dadurch sichergestellt, dass signaltechnisch der DC-Ausgangsspannung U<sub>-</sub> der Quelle 57 im Mittel- oder Tieffrequenzbereich eine vorzugsweise Impulsspannung überlagert wird, wie dargestellt an einer Überlagerungseinheit 58.



Bevorzugt wird dies dadurch realisiert, dass die beiden Entladungselektroden 53/54 intermittierend über eine Choppereinheit 59 hochohmig/niederohmig verbunden werden, welche gestrichelt dargestellt ist. Dies erfolgt mit einer vorgegebenen fixen Repetitionsrate bzw. Duty-cycle und/oder bevorzugterweise dadurch, dass das Entstehen von Störentladungen im Prozessraum automatisch registriert wird und unmittelbar darauf, mit der Choppereinheit 59, die erwähnten Elektroden nach Bedarf niederohmig verbunden werden.

Diese Ueberlagerungstechnik, die, wie noch zu beschreiben sein wird, auch andernorts erfindungsgemäss eingesetzt wird, ist vollumfänglich in der EP-A-0 564.789 detailliert erläutert ebenso wie in der entsprechenden US-Anmeldung Nr. 08/020 672 bzw. 08/300 865 bzw. der japanischen Anmeldung Nr. 5-65052.

Bezüglich dieser eingesetzten Choppertechnik wird vollumfänglich auf die erwähnten Schriften verwiesen und diese diesbezüglich zum integrierten Bestandteil der vorliegenden Beschreibung erklärt.

In der Vakuumkammer 51 ist weiter eine Werkstückträger Elektrode 60 vorgesehen, welche z.B. bezüglich Elektrode 54 mittels einer DC-Quelle 62 auf negatives DC-Potential gelegt ist, wobei auch hier mittels Ueberlagerung der beschriebenen Art, vorzugsweise mittels einer Choppereinheit 64 genannter (59) Art, die Stabilität des Beschichtungsprozesses an der Werkstückträger Elektrode 60 sichergestellt wird. Bezüglich der elektrischen Potentiallegung von Kammergehäuse, den Elektroden 53, 54 und 60 sind dem Fachmann, auch bezüglich Festlegung eines Referenzpotentials, nämlich von Massepotential, hinlänglich verschiedene Möglichkeiten bekannt.

Erfindungsgemäss wird weiter der Kammer 51 bzw. dem Prozessraum von einer Gastankanordnung 66 ein Reaktivgas G mit Kohlenstoff C und/oder Stickstoff N<sub>2</sub> und vorzugsweise weiter mit Wasserstoff H zugeführt. Dies nebst dem Entladungsarbeitsgas, üblicherweise Ar. Bevorzugterweise wird das Gas G durch gesteuerte Mischung zweier Gase G<sub>1</sub> und G<sub>2</sub> erzeugt, wie schematisch mit den steuerbaren Ventilen V<sub>1</sub> und V<sub>2</sub> dargestellt. Weisen die Gase, wie Propan und Butan oder Stickstoff und Ammoniak, unterschiedliche Stöchiometrieverhältnisse (Butan 2,5; Propan 2,7) auf, so kann durch die Steuerung unterschiedlicher Anteile der Gase G<sub>1</sub>/G<sub>2</sub> in der Prozessatmosphäre das Verhältnis C/H oder N/H an der sich ablegenden Si<sub>x</sub>C<sub>y</sub>H<sub>z</sub>- oder Si<sub>v</sub>N<sub>w</sub>H<sub>u</sub>-Schicht gesteuert werden und damit, mittels zweier unabhängiger Parameter, C und H oder N und H, die Transmission T<sub>2</sub> und der Brechungswert n<sub>1</sub> an der entstehenden Si<sub>x</sub>C<sub>y</sub>H<sub>z</sub>- oder Si<sub>v</sub>N<sub>w</sub>H<sub>u</sub>-Schicht.

Wird ein einziges Gas eingesetzt, so wird bevorzugterweise Propan eingesetzt für Si<sub>x</sub>C<sub>y</sub>H<sub>z</sub> und Stickstoff für Si<sub>v</sub>N<sub>w</sub>.

Heute wird für die Schichtherstellung Magnetronzerstäuben bevorzugt. Fig. 5 zeigt beispielsweise und schematisch eine Anlage hierfür. Dabei wird von einer Magnetronquelle 70 das Silicium in die Prozessatmosphäre des Vakuumrezipienten 71 freigesetzt: Die Magnetronquelle 70 ist bezüglich der Werkstückträger Elektrode 73 über eine DC-Quelle 75 vorbeschriebener Art verbunden, wobei wiederum eine vorerläuterte Chopperanordnung 77 eingesetzt wird, gestrichelt dargestellt, als die bevorzugte Realisation der Ueberlagerung bei 78 der DC-Spannung und einer AC-Spannung, vorzugsweise einer Mf- oder Tf-Spannung, dabei vorzugsweise einer pulsierenden.

Sowohl in den Betriebsarten mit einer auch DC-betriebenen Entladung PL beim Ionenplattieren gemäss Fig. 4 wie auch insbesondere beim auf DC-Betrieb basierenden Zerstäuber nach Fig. 5 wird ein an sich erfindungsgemässes Siliciumtarget eingesetzt, welches n- oder p-dotiert ist, vorzugsweise mit Bor und/oder Phosphor. Bevorzugterweise ist der spezifische Widerstand des Targetmaterials aus dem dotierten Si,  $\rho_{Si}$ :

$$0,01 \Omega \text{cm} \leq \rho_{Si} \leq 6 \Omega \text{cm}.$$

Vorzugsweise gilt:

$$0,4 \Omega \text{cm} \leq \rho_{Si} \leq 0,6 \Omega \text{cm}.$$

Hiermit wird erreicht, dass das an sich schlecht leitende Silicium eine bessere Leitfähigkeit  $\rho_{Si}^{-1}$  hat und sogar DC- oder vorzugsweise, wie erläutert, mit DC-Spannung und ihr überlagerter AC-Spannung zerstäubt werden kann, vorzugsweise mit dem Choppereinsatz.

Diese Arbeitsweise erlaubt einen kostengünstigen Betrieb bei hoher Abscheiderate, wobei das Silicium ohne unerwünschte Lichtbogenbildung und entsprechende Spritzerbildung, eine hohe Schichtqualität ergebend, abgestäubt wird.

Das Reaktivgas G wird als Einzelgas oder als Gasgemisch eingelassen, wie dies bereits anhand von Fig. 4 erläutert wurde. Die Schichten können mit der Magnetronquelle 70 in bekannter Weise, beispielsweise durch unmittelbares Plazieren des Substrates vor dem Target, abgeschieden werden oder auch durch Vorbeibewegen am Target, z.B. in linearen Durchlaufanlagen oder in Anlagen mit rotierenden, zylinderförmigen Werkstückträgern.

Bevor Resultate präsentiert werden, werden anschliessend, zusammenfassend, Vorteile des erfindungsgemässen Informationsträgers und des erfindungsgemässen Herstellverfahrens, damit auch der Anlagen hierzu, zusammengestellt:

Informationsträger mit erfindungsgemässer Zwischenlage:

- Bei einer gewählten Wellenlänge (vorzugsweise 635nm) der elektromagnetischen Strahlung für Aufbringen, insbesondere für Auslesen von Information an Grenzflächen, zwischen welchen sich mindestens eine erfindungsgemässe Zwischenlage mit Schicht 1 befindet, wird eine hohe Transmission  $T_2$  der Zwischenlage und eine hohe Reflexion an deren Oberfläche erzielt (Fig. 1 bis 3).
- Die Transmission  $T_2$  der vorgesehenen Schicht 1 ist für UV-Licht hoch ( $\geq 10\%$ ), so dass aufgebraachte Lacke, die UV-härtbar sind, durch Strahlung durch die Schicht 1 hindurch mit hohem Wirkungsgrad härtbar sind.
- Die Haftung der Schicht 1 an abdeckenden Materialien mit C, wie insbesondere an Kunststoffen, insbesondere Polycarbonat oder PMMA, sowie an den erwähnten UV-härtbaren Lacken ist hoch, weil auch das Schichtmaterial C umfasst.
- Durch Aufbau der Schicht 1 mit einer optischen Dicke, die im wesentlichen einer ungeradzahigen Anzahl  $\lambda_0/4$  entspricht, wird eine geringe Zwischenlagendicken-Empfindlichkeit der Reflexion erzielt, gleichzeitig aber ermöglicht, die Transmission durch geringfügige Abweichungen ( $m \sim 0.6$ ) dieser Dimensionierung zu erhöhen.
- Insbesondere bei  $Si_xC_yH_z$ - oder  $Si_xN_wH_u$ -Schichtmaterialwahl ergeben sich, mit C- und H- oder N- und H-Anteilen, zwei unabhängige Parameter zur Einstellung von Transmission und Reflexion der Schicht 1 bzw. an der Zwischenlage.
- Die erfindungsgemässe Zwischenlage mit der Schicht 1 eröffnet kostengünstige, einfach beherrschbare Herstellungsprozesse und deren Durchführung mit kostengünstigen Anlagen.

Herstellungsverfahren:

- Der Einsatz insbesondere von dotierten Siliciumtargets ist kostengünstig und einfach; die Targets sind einfach herstellbar.
- Durch Einsatz von C-, H- oder N-enhaltenden Gasen kommt relativ kostengünstiges und ungefährliches Gas zum Einsatz.
- Durch Einsatz einer DC-Beschichtungstechnik mit der erwähnten AC-Ueberlagerung, insbesondere bei der mit schlechtleitenden Materialien störschichtete oder beschichtete Anlageteile oder Werkstücke kurzzeitig niederohmig verbunden werden, entfallen teure leistungsstarke AC-Generatoren. Ueberschläge und Prozessinstabilitäten werden trotzdem, aber kostengünstig und technisch einfach realisierbar, effizient vermieden.

**1. Beispiel:**

Auf Polycarbonatsubstraten wurde eine  $Si_xC_yH_z$ -Schicht abgelegt. Hierzu wurde eine Anlage eingesetzt, wie sie prinzipiell in Fig. 5 dargestellt ist. Die Substrate waren auf einem Zylinderträger aufgebracht und wurden an einem Rechteckmagnetron vorbeibewegt. Der Substrat/Targetabstand betrug dabei 70mm.

Targetmaterial:	Si(99,99%), p-dotiert (Bor), $\rho_{Si} = 0,5\Omega\text{cm}$ ;
Stromversorgung:	10kW/DC mit Choppereinheit (77, Fig. 5);
Arbeitsgas:	Ar;
Reaktivgas:	Propan, $C_3H_8$ ;
Reaktivmode / Metallmode:	Regelung durch Plasmaemissionsmonitor-Messung und Eingriff auf Chopper (77) sowie auf Ar/ $C_3H_8$ -Flow controller (V1/V2 von Fig. 4);
Entladungsleistung:	7kW;
Rotationsfrequenz der Werkstückträgererelektrode (73):	0,5 Hz.

In der nachfolgenden Tabelle sind für drei Chargen Nr. 2, 3, 4 die weiteren, für den Beschichtungsprozess eingestellten Prozessparameter spezifiziert.

Charge	Leistung	Argon-Fluss	Gasdruck	Metallmode Spannung	Reaktivmode Spannung	Propan-Fluss	Flussverhältnis	Sputterzeit
	kW	sccm	e-3mbar	UMM V	URM V	qC3H8 sccm	qC3H8:qAR	s
2	7	25.5	4	807	777-780	5.9	23.14%	377
3	7	25.5	4	800	724	12	47.06%	377
4	7	25.5	4	828	765	11.4	44.71%	225

An den Chargen der Nr. 2, 3, 4 wurden folgende Werte gemessen:

Charge	Brechwert bei 635nm	Extinktionskoeffizient bei 635nm	Reflexion bei 635 nm
	n	k	%
2	3.19	1.47	38
3	2.28	0.35	13
4	2.59	0.67	23

Bei den auf Polycarbonat aufgetragenen erfindungsgemässen  $Si_xC_yH_z$ -Schichten wurde in Charge Nr. 4, von der Luftseite her, bei 635nm, eine Reflexion von 40% gemessen. Der transmittierte Anteil durch den Polycarbonatträger einer Dicke von 1,2mm mit aufgetragener erfindungsgemässiger Schicht betrug 60% bei 635nm, entsprechend  $T_2 \approx 100\%$ , d.h. einer Absorption von praktisch 0%. Bei 360nm betrug die transmittierte Energie 12%. Bei den Chargen 2 bis 4, die oben spezifiziert sind, ergaben sich folgende Stöchiometrieverhältnisse:

Chargen No.	Si	C	H	O
no. 2	0.529	0.116	0.295	0.06
no. 3	0.401	0.227	0.29	0.082
no. 4	0.42	0.203	0.33	0.047

Es ergaben sich, mit Blick auf Fig. 1:

$$0,2 \leq R_2 \leq 0,4 \text{ und}$$

$$0,2 \leq (R_1 \cdot T_2^2) \leq 0,4.$$

Als Bereich für den Brechwert wird vorerst vorgeschlagen:  
 $2,59 \leq n_1 \leq 3,2$  für Polycarbonat-Substratmaterial.

Für den Extinktionskoeffizienten k schlagen wir vorerst vor:

$$k_{300nm} \leq 1,5 \text{ und}$$

und/oder  $k_{600-700\text{nm}} \leq 0,5$ ,

dabei insbesondere  $k_{600-700\text{nm}} \leq 0,1$ ,

5 und/oder  $k_{450-500\text{nm}} \leq 1$ .

Durch Realisation eines Informationsträgers mit der Struktur gemäss Fig. 3 mittels eines Beschichtungsprozesses, wie er beschrieben wurde, wiesen die Strahlen  $S_1$  bis  $S_3$  ungefähr 20% der einfallenden Energie auf bei einer Absorption von höchstens 2% bei Strahlung einer Wellenlänge von  $\lambda_s = 635\text{nm}$ .

## 2. Beispiel:

Als Ergebnis des ersten, oben erwähnten Beispiels stellten wir fest, dass mit stöchiometrischen oder nahezu stöchiometrischen semitransparenten Schichten aus SiC Brechungswerte  $n_1$  erreicht wurden, welche nicht eigentlich den Wert von 3,2 übersteigen, bei einer Wellenlänge von 633nm. Andererseits schien es zuerst nicht möglich, eine ausgeprägtere Unstöchiometrie einzusetzen und damit höhere Brechungswerte, weil angenommen wurde, dabei zu hohe k-Werte zu erhalten. Es schien weiter nicht möglich, ein Signal Spex von 25% für blaues Laserlicht bei 450nm zu realisieren.

Nichtsdestotrotz führten die Erfinder weitere Experimente durch, welche zeigten, dass Materialien mit höheren Brechungswerten erlauben würden, dünnere Schichten einzusetzen, so dass trotz erhöhter k-Werte der Materialien die Transparenzabnahme nicht entscheidend sein würde. Es wurden, wie nachfolgend gezeigt wird, Brechungswerte wesentlich über 4, bis zu 4,6 und insbesondere bei 4,2 erreicht, gleichzeitig mit k-Werten  $k_{350\text{nm}} \leq 2,5$ ,  $k_{600-700\text{nm}} \leq 0,5$  und  $k_{450-500\text{nm}} \leq 1$ .

Mit Einsatz von Si-Targetmaterial wurden Schichten mit hohem Brechwert realisiert, und zwar durch reaktives Sputtern in Stickstoff enthaltender Atmosphäre anstelle von Wasserstoff, Kohlenstoff, Gas, entsprechend Beispiel 1. Experimentieren an einer eher stöchiometrischen Version von  $\text{Si}_x\text{C}_y\text{H}_z$  zeigte, dass es möglich ist, sogar bei 450nm 25% Signale von beiden Grenzflächen zu erhalten.

$\text{Si}_x\text{C}_y\text{H}_z$ ,  $\text{Si}_x\text{C}_y$ ,  $\text{Si}_v\text{N}_w\text{H}_u$ - und  $\text{Si}_v\text{N}_w$ -Schichten wurden auf Polycarbonatsubstrate abgelegt. Obwohl eine Anlage, wie in Fig. 5 dargestellt, eingesetzt hätte werden können, wurde eine SDS 100-Anlage von Balzers eingesetzt, woran die Substrate bezüglich des Targets stationär gehalten werden.

Substrat/Targetabstand:	40mm
Ungefähres Reaktionsvolumen:	5000cm <sup>3</sup>
Targetmaterial:	wie in Beispiel 1.
Stromversorgung:	wie in Beispiel 1.
Arbeitsgas:	wie in Beispiel 1.
Reaktivgas:	Methan für $\text{Si}_x\text{C}_y$ und $\text{Si}_x\text{C}_y\text{H}_z$ .
Stickstoff und Ammoniak für:	$\text{Si}_v\text{N}_w$ und $\text{Si}_v\text{N}_w\text{H}_u$ .
Entladungsleistung:	4kW.

In der folgenden Tabelle sind vier typische Chargen dargestellt mit Bezug auf die Beschichtungsparameter, welche die bevorzugten Bereiche für digitale Video-Disk-Beschichtungen aus Siliciumcarbid oder Siliciumnitrid darstellen. Dabei sind Chargen mit den höchsten erreichten Brechungswerten dargestellt sowie Chargen mit den tiefsten, gerade noch einsetzbaren Brechungswerten.

Tabelle 1

Prozessparameter und resultierende n- und k-Werte										
Charge	Schicht	Fluss	Fluss	Fluss	Spannung	n633nm	k633nm	k350nm	n450	k450
		N2	CH4	Ar	V					
6	Si <sub>v</sub> N <sub>w</sub>	4	0	32	540	4.19	.5	2.43		
12	Si <sub>v</sub> N <sub>w</sub>	14	0	32	542	3.02	.18	1.01		
42	Si <sub>x</sub> C <sub>y</sub>	0	4	32	557	3.97	.24	2.33	4.35	1.
45	Si <sub>x</sub> C <sub>y</sub>	0	16	32	555	2.81	.03	0.95	3.04	0.33

Tabelle 2 zeigt gemessene und kalkulierte Resultate, die Reflexion-R- und die Transmission-T-Messungen wurden mittels eines Lambda-9-Spektralphotometers von Perkin Elmer auf Corning Testsubstraten durchgeführt. Von den R-T-Messungen wurden die n- und k-Werte berechnet. Von den n- und k-Werten wurde die optimale Dicke für höchstmögliche Signalwerte S<sub>1</sub> und S<sub>2</sub> von beiden Grenzflächen berechnet, durch Einsatz des obenerwähnten Film Star-Programmes. Die optimalen Indexwerte, welche die höchstmöglichen Signalwerte ergeben, liegen für SiC zwischen n = 3,97 und n = 2,81. Bei n = 3,13 und k = 0,06 ergeben sich Signale S<sub>1</sub> = S<sub>2</sub> = 32,2% , d.h. lediglich 2,4% unter der theoretischen Grenze, wenn Al als hochreflektierende Abdeckung eingesetzt wird.

Tabelle 3 zeigt die entsprechenden Stöchiometrien für die postulierten Brechwert-Grenzwerte, wie sie für digitale Video-Disk-Anwendungen eingesetzt werden können.

**Tabelle 2:** R-T-Messungen in Luft mit maximal möglichen Signalen von den Grenzflächen S<sub>1</sub>, S<sub>2</sub> für die entsprechenden Werte der optischen Konstanten n und k.

**Rot-Laser-Resultate:**

Charge	Reflexion bei 633nm	Transmission bei 633nm	Gemessene Dicke	Berechnete optimale Dicke	Signal von 1. Grenzfläche S <sub>1</sub>	Signal von 2. Grenzfläche S <sub>2</sub>
	R %	T %	dm nm	dopt nm	%	%
6	62.2	23.2	35.1	15.2	25	25
12	47.8	41.8	51.3	48	28	28
42	63.4	28.1	39.1	18.5	29	29
45	46.3	51.5	57.4	56.3	26.2	40.8

**Blau-Laser-Resultate:**

Charge	Reflexion bei 450nm	Transmission bei 450nm	Gemessene Dicke	Berechnete optimale Dicke	Signal von 1. Grenzfläche S <sub>1</sub>	Signal von 2. Grenzfläche S <sub>2</sub>
	R %	T %	dm nm	dopt nm	%	%
42	38	36.4	39.1	9.2	21	21
45	28	40.5	57.4	34	25	25

**Tabelle 3**

Stöchiometrie der Chargen, welche den einsetzbaren Bereich des Brechungswertes für DVD-Applikationen festlegen

Charge	Si	O	N	C	H	n <sub>633nm</sub>	n <sub>450nm</sub>
	%	%	%	%	%		
6	78	5	11	2	4	4.19	
12	58.6	2	36.4	2	1	3.02	
42	70.4	7.8	0	8.7	13.1	3.97	4.35
45	49.4	4.2	0	23.8	22.6	2.81	3.04

Damit schlagen wir abschliessend als Bereich für den Brechungswert der Schicht gemäss vorliegender Erfindung vor:  
 $2,59 \leq n_1 \leq 4,6$ , dabei insbesondere  $2,8 \leq n_1 \leq 3,2$ .

Für den Extinktionskoeffizienten  $k$  schlagen wir schliesslich vor:

$$k_{300\text{nm}} \leq 3,0 \text{ und/oder } k_{350\text{nm}} \leq 2,7 \text{ und/oder}$$

$$k_{600-700\text{nm}} \leq 0,5, \text{ dabei insbesondere } \leq 0,1, \text{ und/oder}$$

$$k_{450-500\text{nm}} \leq 1.$$

Die vorliegende Erfindung zusammenfassend, werden dadurch folgende Ziele erreicht bzw. Aufgaben gelöst:

- Herstellung zu tiefen Kosten, weil durch Ausnützung der vorgeschlagenen Stöchiometrieverhältnisse äusserst dünne Schichten eingesetzt werden können, welche die Fertigungszeiten drastisch reduzieren;
- Abgleich mehrerer reflektierter Strahlen;
- Möglichkeit, die Signalpegel an die Vorgaben eines Lesegerätes anzupassen;
- Möglichkeit, die Signalpegel, welche erreicht werden, entsprechend der Schichtdickenverteilung, wie sie an einer spezifischen Fertigungsanlage realisierbar ist, anzupassen;
- erhöhte Haftung an Prozesskammerwänden und -maskierungen für metallähnliche Schichten, womit das bekannte "flaking-off"-Problem gelöst wird;
- vereinfachte Prozessbeherrschung dadurch, dass es möglich wird, den Prozess nahe am metallischen Mode zu führen. Je näher ein Reaktivprozess am metallischen Mode geführt werden kann, je geringer ist die Gefahr, dass der Prozess abrupt und unbeherrschbar in den Reaktivmode springt;
- der Einsatz von Stickstoff anstelle von Propan oder Methan reduziert zusätzlich vorzusehende Sicherheitsmassnahmen;
- es wird ermöglicht, 25%-Signale von zwei der erwähnten Grenzflächen zu erhalten, sogar mit blauem Laser bei 450nm.

#### Patentansprüche

1. Informationsträger, bei dem die Information durch örtliche Modulation (5) mindestens einer Festkörpereigenschaft, von der die Reflexion elektromagnetischer Strahlung (7) abhängt, an mindestens zwei Festkörpergrenzflächen ( $3_o$ ,  $3_u$ ) aufgebracht ist oder aufgebracht wird und bei dem die mindestens zwei Grenzflächen ( $3_o$ ,  $3_u$ ) zwischen sich eine Zwischenlage (3) aufweisen, welche die Strahlung transmittiert ( $T_2$ ), dadurch gekennzeichnet, dass die Zwischenlage (3) mindestens eine mindestens überwiegend aus  $\text{Si}_x\text{C}_y$  und/oder  $\text{Si}_v\text{N}_w$  bestehende Schicht (1) aufweist.
2. Informationsträger nach dem Oberbegriff von Anspruch 1, dadurch gekennzeichnet, dass die Zwischenlage (3) mindestens ein mindestens einschichtiges dielektrisches Schichtsystem (1) umfasst, welches eine optische Dicke (D) aufweist, die, mindestens in erster Näherung,  $m \cdot \lambda_o / 4$  beträgt, wobei  $m \geq 1$ , ganzzahlig und ungerade ist und  $\lambda_o$  die Wellenlänge in der mindestens einen dielektrischen Schicht (1) der Strahlung bezeichnet, wobei, ausgehend vom ganzzahligen Wert für  $m$ , dieser um bis zu 0,6 erniedrigt oder um bis zu 0,2 erhöht werden kann.
3. Informationsträger, gekennzeichnet durch Kombination der Merkmale von Anspruch 1 und Anspruch 2.
4. Informationsträger nach einem der Ansprüche 1 bis 3, dadurch gekennzeichnet, dass die örtlich modulierte Festkörpereigenschaft an mindestens einer der Grenzflächen die Dicke (D) der die Grenzfläche definierenden Materiallagen ist.
5. Informationsträger nach einem der Ansprüche 1 bis 4, dadurch gekennzeichnet, dass er für den Einsatz von schreibender und/oder lesender elektromagnetischer Strahlung (9) im Wellenlängenbereich von

$$400\text{nm} \leq \lambda_s \leq 800\text{nm},$$

vorzugsweise für den Bereich

$$630\text{nm} \leq \lambda_s \leq 655\text{nm},$$

5 vorzugsweise

$$633\text{nm} \leq \lambda_s \leq 650\text{nm}$$

ausgelegt ist.

- 10 6. Informationsträger nach einem der Ansprüche 1 bis 5, dadurch gekennzeichnet, dass die Strahlungsreflexion an mindestens einer der Grenzflächen 20% bis 40% (beide Grenzen eingeschlossen) beträgt bei einer gegebenen Strahlungswellenlänge, vorzugsweise gegeben nach Anspruch 5.
- 15 7. Informationsträger nach Anspruch 6, dadurch gekennzeichnet, dass diese Reflexion für Strahlung bei einer ersten gegebenen Wellenlänge vorzugsweise von ca. 635nm oder ca. 650nm an der einen Grenzfläche gilt und für Strahlung bei einer zweiten gegebenen Wellenlänge vorzugsweise von ca. 785nm an der anderen Grenzfläche, wobei die Reflexion der Strahlung bei der zweiten Wellenlänge an der ersten Grenzfläche wesentlich tiefer ist als die Reflexion der Strahlung bei der ersten Wellenlänge.
- 20 8. Informationsträger nach Anspruch 7, dadurch gekennzeichnet, dass die Reflexion der Strahlung bei der zweiten Wellenlänge an der ersten Grenzfläche höchstens 10% beträgt.
- 25 9. Informationsträger nach einem der Ansprüche 1 bis 8, dadurch gekennzeichnet, dass der Berechnungswert  $n$  der Zwischenlage beträgt:

$$2,59 \leq n_1 \leq 4,6$$

und/oder der Extinktionskoeffizient  $k$  in mindestens einem der folgenden Bereiche liegt:

$$k_{300\text{nm}} \leq 3,0,$$

vorzugsweise

$$k_{300} \leq 1,5 \text{ und/oder}$$

$$k_{350\text{nm}} \leq 2,7 \text{ und/oder}$$

$$k_{600-700\text{nm}} \leq 0,5.$$

- 30 10. Informationsträger nach einem der Ansprüche 1 bis 9, dadurch gekennzeichnet, dass die Zwischenlage (3) weiter eine Abstandsschicht (5), vorzugsweise eine Lackschicht oder Kleberschicht, umfasst.
- 35 11. Informationsträger nach einem der Ansprüche 2 oder 4 bis 10, dadurch gekennzeichnet, dass die dielektrische Schicht (1) mindestens überwiegend aus mindestens einem der Materialien ZrN, HfN, TiN besteht, vorzugsweise mindestens überwiegend aus ZrN.
- 40 12. Informationsträger nach einem der Ansprüche 1 bis 11, dadurch gekennzeichnet, dass eine Grenzfläche zwischen der Schicht (1) und einem Kunststoff gebildet ist, vorzugsweise an Polycarbonat oder PMMA, oder zwischen der Schicht (1) und einer Abstandsschicht (5), vorzugsweise einer Lackschicht oder Kleberschicht, oder zwischen der Schicht (1) und einer hochreflektierenden Deckschicht, vorzugsweise aus Al, Au oder Ag, vorzugsweise aus Al gebildet ist.
- 45 13. Informationsträger nach einem der Ansprüche 1 bis 12, dadurch gekennzeichnet, dass die eine Grenzfläche an einem Lack, vorzugsweise einem durch UV-Bestrahlung härtbaren Lack, gebildet ist.
- 50 14. Informationsträger nach einem der Ansprüche 1 bis 13, dadurch gekennzeichnet, dass die Schicht (1) mindestens ein Halbleiter-Dotiermaterial enthält, vorzugsweise Bor und/oder Phosphor.



15. Informationsträger nach einem der Ansprüche 1 bis 14, dadurch gekennzeichnet, dass die Schicht (1) C enthält und mindestens einseitig an einem Material anliegt, das ebenfalls C enthält.
- 5 16. Informationsträger nach einem der Ansprüche 1 bis 15, dadurch gekennzeichnet, dass er für den lesenden und/oder schreibenden Einsatz von Licht im blauen Spektralbereich ( $400\text{nm} \leq \lambda_s \leq 500\text{nm}$ ) ausgelegt ist.
- 10 17. Informationsträger nach einem der Ansprüche 1 bis 16, dadurch gekennzeichnet, dass die Schicht (1) mindestens überwiegend aus  $\text{Si}_x\text{C}_y$  und/oder  $\text{Si}_x\text{C}_y\text{H}_z$  besteht, jedenfalls mit  $x \geq y$ , vorzugsweise mit  $x \geq 1,2y$ ,  
15 vorzugsweise mit  $x \geq 2y$ .
- 20 18. Informationsträger nach einem der Ansprüche 1 bis 16, dadurch gekennzeichnet, dass die Schicht (1) mindestens überwiegend aus  $\text{Si}_v\text{N}_w$  und/oder  $\text{Si}_v\text{N}_w\text{H}_u$  besteht, jedenfalls mit  $v \geq w$ ,  
25 vorzugsweise mit  $v \geq 1,2w$ , vorzugsweise mit  $v \geq 1,6w$ .
- 30 19. Informationsträger nach einem der Ansprüche 1 bis 18, dadurch gekennzeichnet, dass die Schicht (1) mindestens überwiegend aus  $\text{Si}_x\text{C}_y\text{H}_z$  besteht, wobei gilt:  
35  $x \leq 0,8; y \geq 0,05; z \geq 0,1$ , vorzugsweise  $x \leq 0,52$ ,  
 $y \geq 0,1$ ,  
 $z \geq 0,2$ .
- 40 20. Informationsträger nach einem der Ansprüche 1 bis 19, dadurch gekennzeichnet, dass die Schicht (1) mindestens überwiegend aus  $\text{Si}_v\text{N}_w\text{H}_u$  und/oder  $\text{Si}_v\text{N}_w$  besteht und gilt:  $v \leq 0,8$ ;  
45  $w \geq 0,05$ , dabei vorzugsweise  $w \geq 0,1$ .
- 50 21. Informationsträger nach einem der Ansprüche 1 bis 20, worin die Schicht (1) mindestens überwiegend aus  $\text{Si}_x\text{C}_y$  und/oder  $\text{Si}_x\text{C}_y\text{H}_z$  besteht und gilt:  
[0,445 : 0,262]  $\leq [x : y] \leq [0,775 : 0,078]$   
und/oder gilt:  
[0,445 : 0,249]  $\leq [x : z] \leq [0,775 : 0,118]$   
55 und/oder gilt:  
[0,078 : 0,249]  $\leq [y : z] \leq [0,262 : 0,118]$ .
22. Informationsträger nach einem der Ansprüche 1 bis 21, wobei die Schicht mindestens überwiegend aus  $\text{Si}_x\text{C}_y\text{H}_z$  besteht und gilt:

$x : y : z = 0,704 (\pm 10\%) : 0,087 (\pm 10\%) : 0,131 (\pm 10\%)$

oder gilt:

$x : y : z = 0,494 (\pm 10\%) : 0,238 (\pm 10\%) : 0,226 (\pm 10\%)$ ,

wobei  $\pm 10\%$  die statistische Streuung bei mehreren Messungen besagter Werte angeben.

5

23. Informationsträger nach einem der Ansprüche 1 bis 22, wobei die Schicht mindestens überwiegend aus  $\text{Si}_v\text{N}_w$  und/oder  $\text{Si}_v\text{N}_w\text{H}_u$  besteht

und gilt:

$[0,527 : 0,401] \leq [v : w] \leq [0,858 : 0,099]$

10

und/oder gilt:

$[0,527 : 0,044] \leq [v : u] \leq [0,858 : 0,009]$

und/oder gilt:

$[0,099 : 0,044] \leq [w : u] \leq [0,401 : 0,009]$

15

24. Informationsträger nach einem der Ansprüche 1 bis 23, wobei die Schicht mindestens überwiegend aus  $\text{Si}_v\text{N}_w$  und/oder  $\text{Si}_v\text{N}_w\text{H}_u$  besteht und dabei gilt:

$v : w = 0,78 (\pm 10\%) : 0,11 (\pm 10\%)$

oder

$v : w = 0,586 (\pm 10\%) : 0,364 (\pm 10\%)$ ,

20

wobei  $\pm 10\%$  die statistische Streuung bei mehreren Messungen angibt.

25. Informationsträger nach einem der Ansprüche 1 bis 24, dadurch gekennzeichnet, dass die Haftung der Schicht (1) an angrenzenden Materialien mindestens einen der Tests MIL-M-13508C, MIL-C-00675B gemäss H. Pulker "Coatings on Glass", Verlag Elsevier, 1984, S. 358, erfüllt.

25

26. Informationsträger nach einem der Ansprüche 1 bis 25 mit mindestens drei Grenzflächen auf einer Seite eines Trägersubstrates.

27. Informationsträger nach einem der Ansprüche 1 bis 26 mit einer optischen oder magnetooptischen Speicherkapazität von ca. 11GByte, vorzugsweise ca. 13GByte, pro Seite bei einem Trägerdurchmesser von 120mm.

30

28. Verfahren zur Herstellung einer Schicht mindestens überwiegend aus  $\text{Si}_x\text{C}_y$  und/oder  $\text{Si}_v\text{N}_w$  durch einen reaktiven Vakuumbeschichtungsprozess, dadurch gekennzeichnet, dass man Si von einem Festkörper in die Prozessatmosphäre freisetzt und dort mit einem Gas, das C und/oder N enthält, reagiert.

35

29. Verfahren zur Herstellung einer mindestens überwiegend aus  $\text{Si}_x\text{C}_y\text{H}_z$  und/oder  $\text{Si}_v\text{N}_w\text{H}_u$  bestehenden Schicht durch einen reaktiven Vakuumbeschichtungsprozess, dadurch gekennzeichnet, dass man durch Führen des Konzentrationsverhältnisses von C zu H und/oder von N zu H in einem Gas in der Prozessatmosphäre ein Optimum von hoher Schichttransmission und hohem Brechwert des Schichtmaterials einstellt.

40

30. Verfahren, kombiniert durch die Vorgehen nach den Ansprüchen 28 und 29.

31. Verfahren nach einem der Ansprüche 28 bis 30, dadurch gekennzeichnet, dass man die Konzentrationen von C zu H und/oder von N zu H in der Prozessatmosphäre durch Steuerung, vorzugsweise Regelung der Zuführung mindestens zweier Gase mit unterschiedlichen C- zu H-Anteilen bzw. N- zu H-Anteilen separat steuert bzw. regelt.

45

32. Verfahren nach einem der Ansprüche 28 bis 31, dadurch gekennzeichnet, dass zwischen einem Substratträger und einer Gegenelektrode eine DC-Spannung angelegt wird, der eine AC-Spannung überlagert wird, vorzugsweise eine gepulste, vorzugsweise, dass man Träger sowie Gegenelektrode intermittierend niederohmig und hochohmig verbindet.

50

33. Verfahren nach einem der Ansprüche 28 bis 32, dadurch gekennzeichnet, dass die Schicht durch reaktives Sputtern oder durch Ionenplattieren, vorzugsweise Magnetronsputtern, abgelegt wird.

55

34. Verfahren nach einem der Ansprüche 28 bis 33, dadurch gekennzeichnet, dass die Schicht durch reaktives Zerstäuben eines Targets aus n- oder p-dotiertem Si erstellt wird, vorzugsweise nach Anspruch 33.

35. Verfahren nach einem der Ansprüche 28 bis 34, dadurch gekennzeichnet, dass man ein Reaktivgas mit Wasserstoff-Kohlenstoff und/oder mit Wasserstoff-Stickstoff einsetzt, vorzugsweise Propan und/oder Butan und/oder

Methan und/oder Ammoniak, vorzugsweise Propan und Stickstoff.

36. Verwendung des Verfahrens nach einem der Ansprüche 28 bis 35 für die Herstellung der Schicht (1) an einem Informationsträger gemäss einem der Ansprüche 1 bis 27:
- 5
37. Anlage zur Ausführung des Verfahrens nach einem der Ansprüche 28 bis 35 mit einem Vakuumrezipienten, darin einer Werkstückträger-elektrode, dadurch gekennzeichnet, dass eine Festkörperquelle vorgesehen ist, welche Silicium in den Vakuumrezipienten freisetzt, sowie ein Gasanschluss, welcher mit einem Gastank mit einem Gas, welches Kohlenstoff und/oder Stickstoff enthält, verbunden ist.
- 10
38. Anlage nach Anspruch 37, dadurch gekennzeichnet, dass die Gaszuführung mit mindestens zwei Gastanks verbunden ist, worin Gase mit unterschiedlichen C/H-Verhältnissen und/oder unterschiedlichen N/H-Verhältnissen enthalten sind.
- 15
39. Anlage nach einem der Ansprüche 37 oder 38, dadurch gekennzeichnet, dass die Werkstückträger-elektrode über eine Gleichspannungsquelle mit einer Gegenelektrode verbunden ist und dem Ausgang der Gleichspannungsquelle ein AC-Signal überlagert ist, wobei vorzugsweise das AC-Signal ein Pulssignal ist, vorzugsweise, dass, parallel zum Ausgang der Gleichspannungsquelle, eine Choppereinheit vorgesehen ist, welche gesteuert die Werkstückträger-elektrode mit der Gegenelektrode abwechselnd hochohmig und niederohmig verbindet.
- 20
40. Anlage nach einem der Ansprüche 37 bis 39, ausgebildet als Sputterbeschichtungsanlage oder als Ionenplattier-anlage.
- 25
41. Target für eine Anlage nach einem der Ansprüche 37 bis 40, bestehend aus n- oder p-dotiertem Si, vorzugsweise aus Bor- und/oder Phosphor-dotiertem Si.
- 30
- 35
- 40
- 45
- 50
- 55

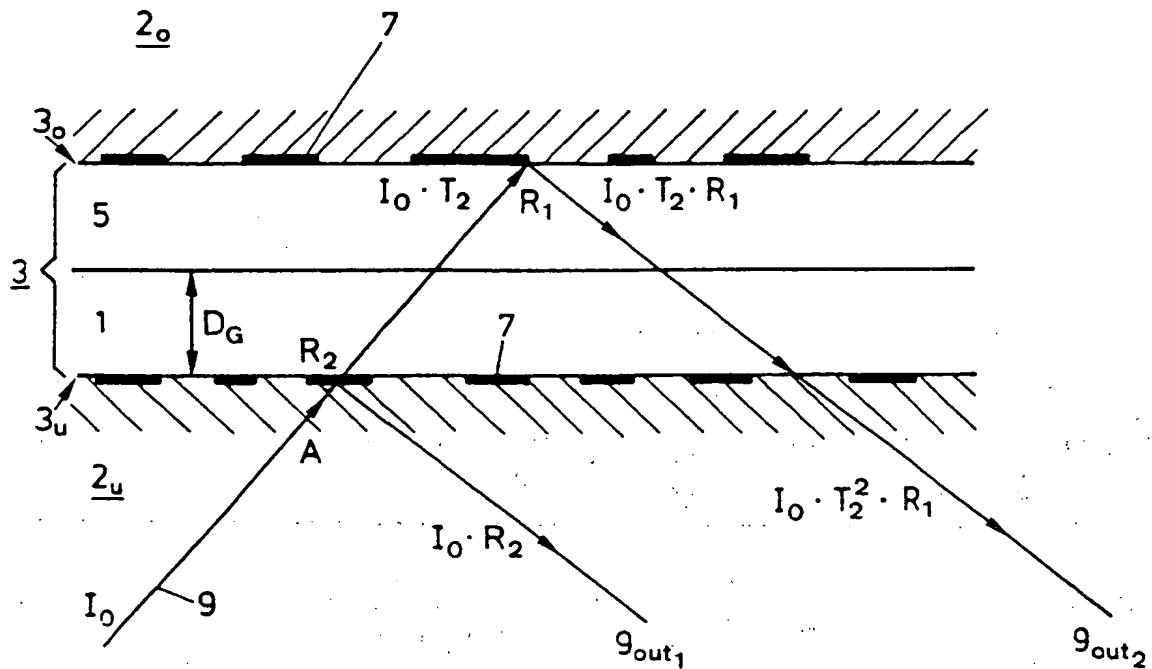


FIG. 1

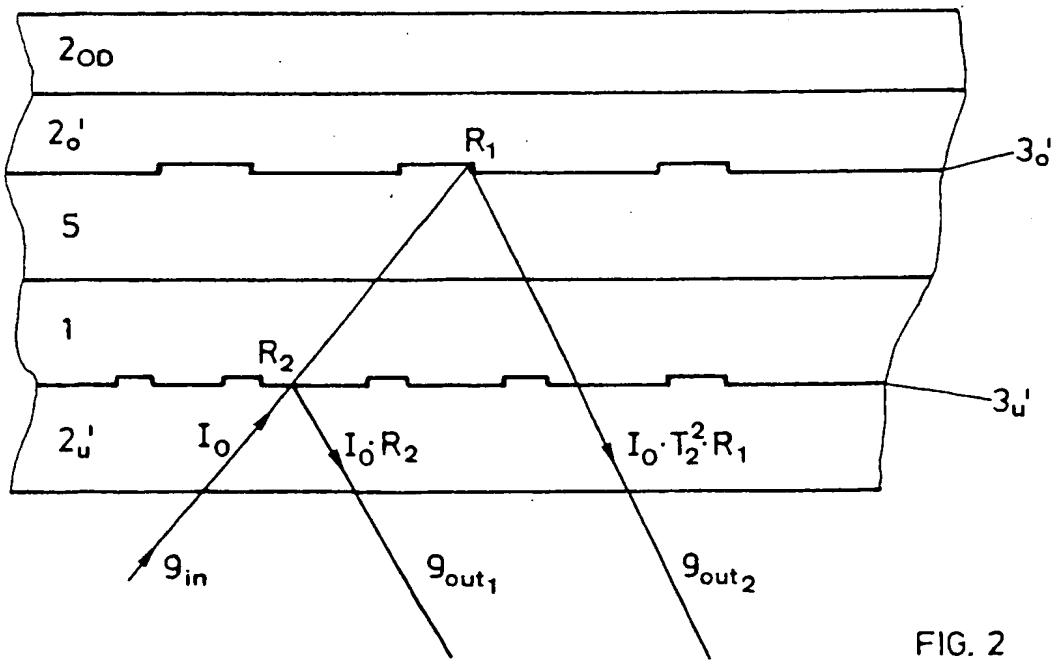


FIG. 2

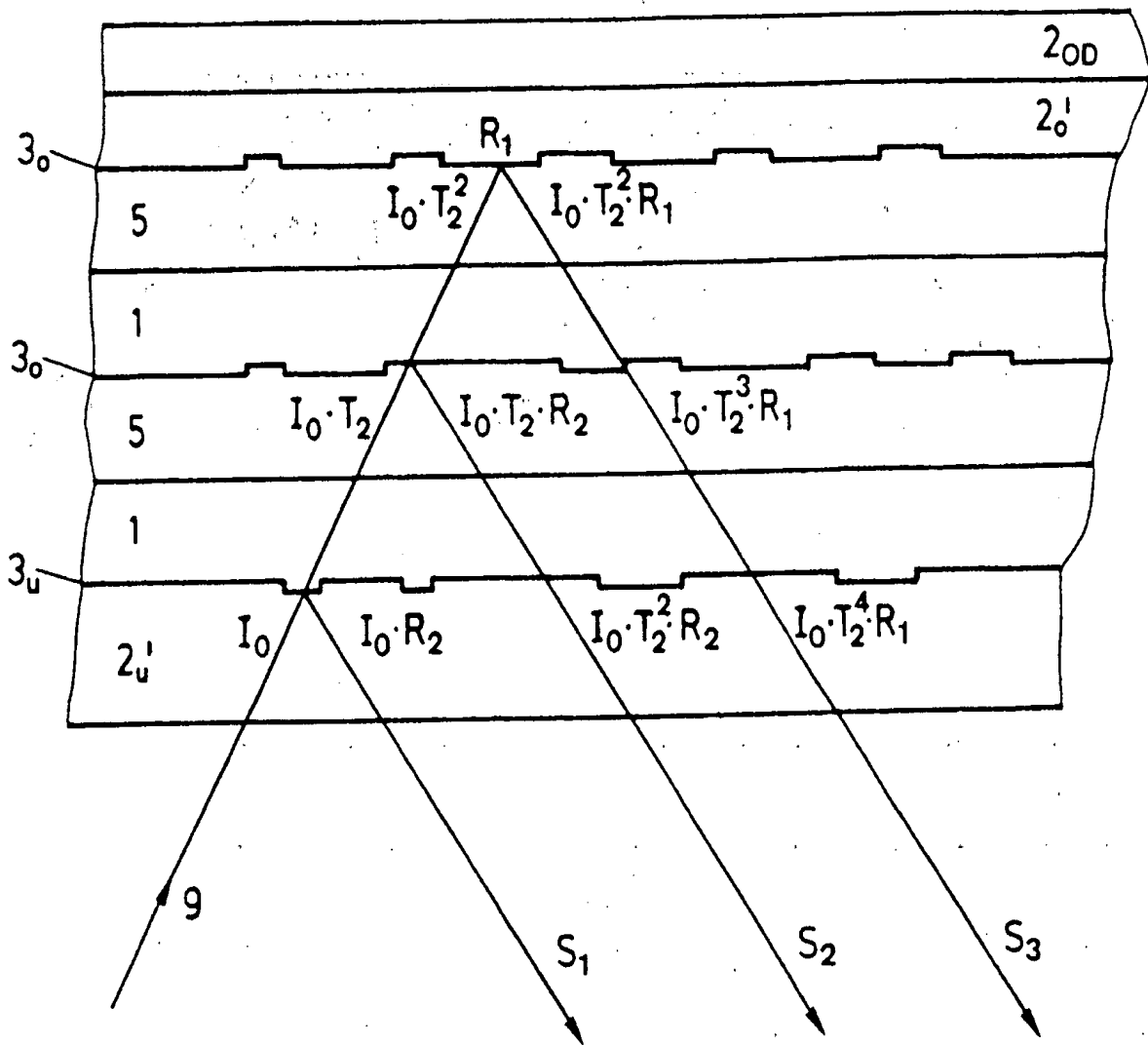


FIG. 3

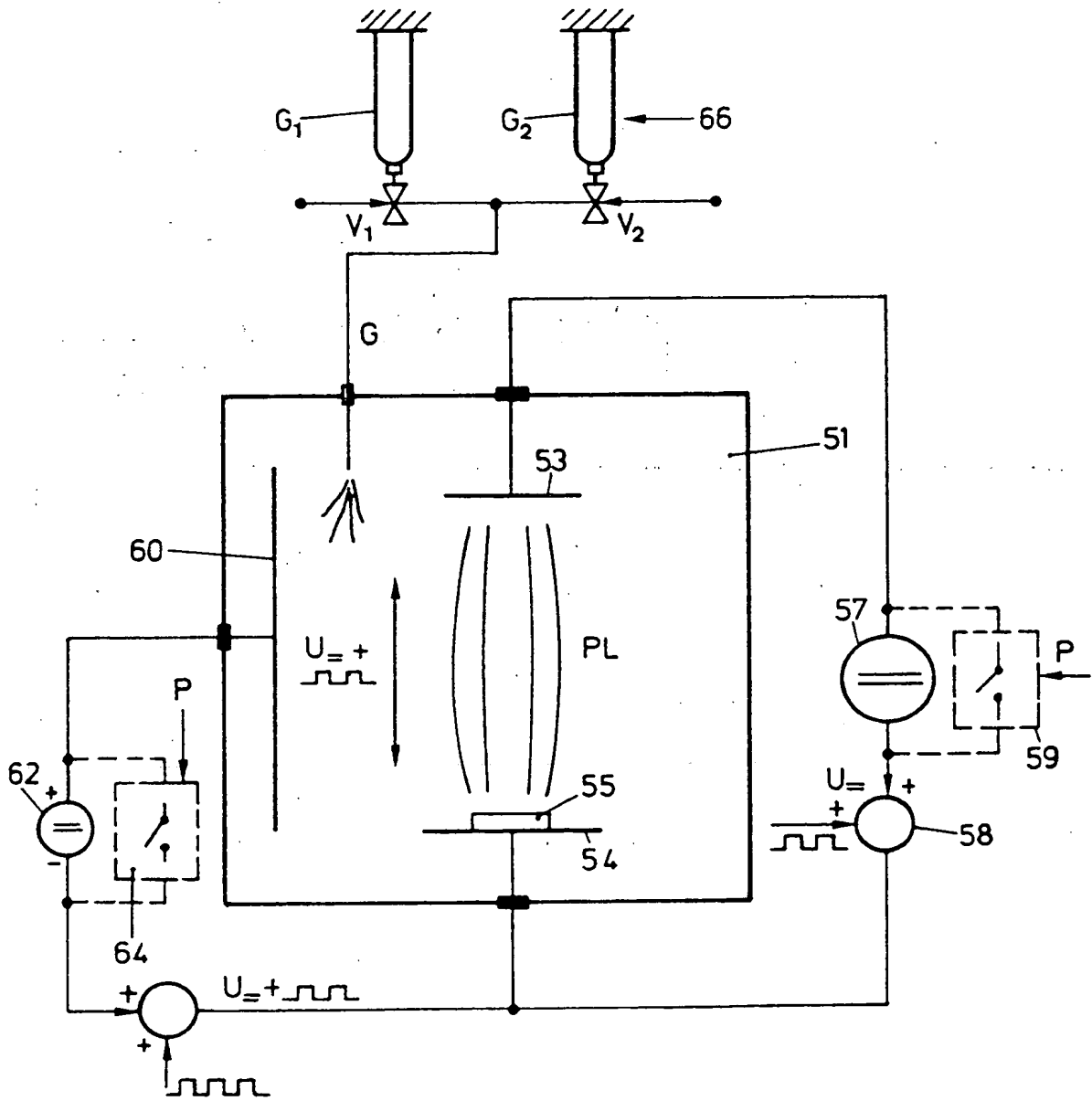
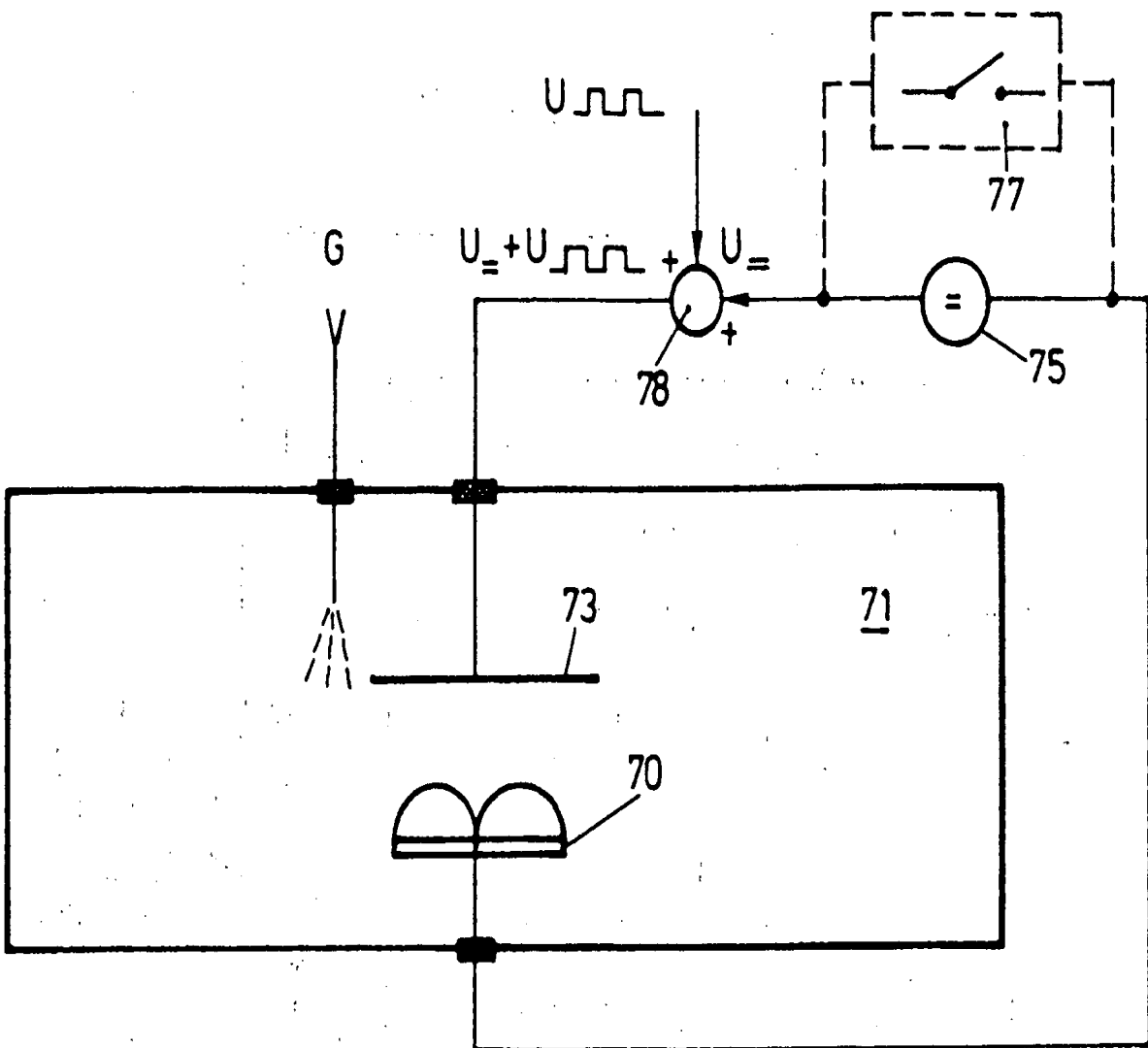


FIG. 4





Europäisches  
Patentamt

EUROPÄISCHER RECHERCHENBERICHT

Nummer der Anmeldung  
EP 96 11 3620

EINSCHLÄGIGE DOKUMENTE			
Kategorie	Kennzeichnung des Dokuments mit Angabe, soweit erforderlich, der maßgeblichen Teile	Betrifft Anspruch	KLASSIFIKATION DER ANMELDUNG (Int.Cl.6)
X	EP-A-0 658 885 (IBM)	1,4,5, 10,12, 14,15	G11B7/24 G11B7/26 G11B11/10
Y	* Seite 4, Zeile 1 - Seite 9, Zeile 35; Abbildungen 2B,3B,4,5 *	17,19, 21,36	C23C14/06 C23C14/35
A	---	9	
X	US-A-5 381 401 (BEST MARGARET E ET AL)	1-4	
Y	* Spalte 4, Zeile 64 - Spalte 6, Zeile 5; Abbildung 2B *	11,18, 20,23,36	
X	EP-A-0 368 442 (PIONEER ELECTRONIC CORP)	2,4,5,7, 10,12, 13,16	
	* das ganze Dokument *		
X	US-A-5 414 678 (CHALLENGER IV WILLIAM A)	1	
A	* das ganze Dokument *	2	
X	EP-A-0 388 852 (TOSOH CORP)	29,31, 33,35,37	
Y	* das ganze Dokument *	18,20,36	RECHERCHIERTE SACHGEBIETE (Int.Cl.6)
X	EP-A-0 372 517 (TOSOH CORP)	29,31, 33,35,37	G11B C23C
A	* das ganze Dokument *	9,25	
Y	EP-A-0 473 492 (SHINETSU CHEMICAL CO)	17-21,23	
A	* Spalte 3, Zeile 42 - Spalte 4, Zeile 14 *	2,9	
Y	EP-A-0 086 009 (PHILIPS NV)	11	
	* das ganze Dokument *		
X	EP-A-0 592 174 (CANON KK)	28,33, 34,41	
	* Seite 5, Zeile 52 - Seite 6, Zeile 1 * * Seite 7, Zeile 37 - Zeile 42 *		
	---		
	-/--		
Der vorliegende Recherchenbericht wurde für alle Patentansprüche erstellt			
Recherchort DEN HAAG		Abschließdatum der Recherche 2.Dezember 1996	Prüfer Holubov, C
KATEGORIE DER GENANNTEN DOKUMENTE		T : der Erfindung zugrunde liegende Theorien oder Grundsätze E : älteres Patentdokument, das jedoch erst am oder nach dem Anmeldedatum veröffentlicht worden ist D : in der Anmeldung angeführtes Dokument L : aus andern Gründen angeführtes Dokument ..... & : Mitglied der gleichen Patentfamilie, übereinstimmendes Dokument	
X : von besonderer Bedeutung allein betrachtet Y : von besonderer Bedeutung in Verbindung mit einer anderen Veröffentlichung derselben Kategorie A : technologischer Hintergrund O : mündliche Offenbarung P : Zwischenliteratur			

EPO FORM 1503 01.82 (P/AC00)





Europäisches  
Patentamt

EUROPÄISCHER RECHERCHENBERICHT

Nummer der Anmeldung  
EP 96 11 3620

EINSCHLÄGIGE DOKUMENTE		
Kategorie	Kennzeichnung des Dokuments mit Angabe, soweit erforderlich, der maßgeblichen Teile	Betrifft Anspruch
X	PATENT ABSTRACTS OF JAPAN vol. 008, no. 077 (C-218), 10. April 1984 & JP-A-59 003017 (SHARP KK), 9. Januar 1984.	28, 33, 35
A	* Zusammenfassung * ---	29, 31, 38
X	IBM TECHNICAL DISCLOSURE BULLETIN, Bd. 28, Nr. 1, Juni 1985, NEW YORK, US, Seite 301 XP002001922 ANONYMOUS: "Producing Silicon Carbide Films at Low Temperature"	28, 33, 35
A	* das ganze Dokument * ---	29, 31, 38
D,A	EP-A-0 564 789 (BALZERS HOCHVAKUUM) * das ganze Dokument *	32, 39
P,X	WO-A-96 04650 (MINNESOTA MINING & MFG)  * das ganze Dokument *	1-6, 9, 10, 12, 13, 15
E	EP-A-0 729 142 (SONY CORP)  * das ganze Dokument *	1-6, 10, 12, 13, 15
RECHERCHIERTER SACHGEBIETE (Int.Cl.6)		
Der vorliegende Recherchenbericht wurde für alle Patentansprüche erstellt		
Recherchenort	Abschlußdatum der Recherche	Prüfer
DEN HAAG	2. Dezember 1996	Holubov, C
<p><b>KATEGORIE DER GENANNTEN DOKUMENTE</b></p> <p>X : von besonderer Bedeutung allein betrachtet                      Y : von besonderer Bedeutung in Verbindung mit einer anderen Veröffentlichung derselben Kategorie                      A : technologischer Hintergrund                      O : mündliche Offenbarung                      P : Zwischenliteratur</p> <p>T : der Erfindung zugrunde liegende Theorien oder Grundsätze                      E : älteres Patentedokument, das jedoch erst am oder nach dem Anmeldedatum veröffentlicht worden ist                      D : in der Anmeldung angeführtes Dokument                      L : aus andern Gründen angeführtes Dokument</p> <p>&amp; : Mitglied der gleichen Patentfamilie, übereinstimmendes Dokument</p>		

EPO FORM 1503 01.82 (P/M/C03)

10/10/10

10/10/10

10/10/10

**THIS PAGE BLANK (USPTO)**